

## الفصل الرابع

### كواشف الإشعاعات النووية Nuclear radiation detectors

- مقدمة - حركة الإلكترونات والأيونات في الغازات
- التيار الإلكتروني والأيوني في الغازات - الكواشف الغازية - غرفة الانتشار التناضجية - عدادات غايغر ميلر - الغرفة السحابية - غرفة الانتشار - الغرفة الفقاعية - الكواشف الوميضية - الكواشف شبه الموصلة - العداد الشراري - كواشف نشيرنوكوف - ألواح وأفلام التصوير - أسللة ومسائل

#### 1-4 مقدمة

تتطلب جميع القياسات النووية (سواء في مختبرات البحث أو محطات القوى النووية أو القياسات الخاصة بالوقاية من أخطار الإشعاعات المؤينة أو غيرها) توفر الأجهزة الخاصة بالكشف عن الأنواع المختلفة من الإشعاعات النووية وتسجيلها. وتعرف هذه الأجهزة بـ **كواشف (مكاشف) الإشعاعات (Radiation detectors)**. وتستخدم هذه الكواشف، عموماً، لتحديد نوع الإشعاعات وقياس كمياتها وتحديد طاقتها.

ويتوقف نوع الكاشف المستخدم على عدة عوامل أهمها:

- أ- نوع الجسيمات أو الإشعاعات المطلوب الكشف عنها (جسيمات مشحونة ثقيلة أو الإلكترونات أو أشعة سينية أو إشعاعات جاما أو نيوترونات).
- ب- طاقة هذه الإشعاعات.

- جـ شدة الإشعاعات أو كثافة تدفقها.  
دـ طبيعة المكان الذي سيوضع فيه الكاشف المعين.

ويقوم مبدأ الكشف عن الإشعاعات في كثير من الكواشف على استخدام ظاهرة تأين أو إثارة الإشعاعات لذرات أو جزيئات المادة عند المرور فيها. فعند مرور الإشعاعات في مادة ما يمكن إيجاد عدد الأزواج الإلكترونية - الأيونية المكونة نتيجة للتأين (راجع الفصل الثالث). وقد لوحظ أن القيمة المتوسطة للطاقة اللازمة لتكوين زوج واحد  $\bar{W}$  لا تعتمد على نوع الإشعاعات أو طاقتها وإنما تعتمد على نوع المادة، وأن هذه القيمة حوالي 35 إلكترون فولت بالنسبة للهواء في الظروف المعيارية. لذا، فإنه عند مرور بروتون طافته 1 أميغا إلكترون فولت في هذا الهواء فإنه ينتج في هذا الهواء عدداً من الأزواج مقداره:

$$1 \text{ MeV} = 10^6 \text{ eV} \div 35 = 2.86 \times 10^4 \text{ electron ion pairs}$$

وذلك على طول مدى هذا البروتون. ولما كانت شحنة الإلكترون أو الأيون هي  $1.6 \times 10^{-19}$  كولوم، فإن الشحنة الناتجة عن هذا البروتون في الهواء هي:  $2.86 \times 10^4 \times 1.6 \times 10^{-19} = 4.58 \times 10^{-15}$  كولوم. ويمكن قياس مثل هذه الشحنة بسهولة.

وأما بالنسبة للأشعة السينية وإشعاعات جاما والجسيمات المتعادلة الشحنة كالنيوترونات فهي لا تؤين المادة عند المرور فيها بطريقة مباشرة ولكنها تؤينها بطريقة غير مباشرة. فالنيوترونات يمكن أن تتفاعل مع المادة ويعودي هذا التفاعل إلى انطلاق جسيم مشحون (بروتون أو جسيم ألفا) يعرف بالجسيم الثانوي الناتج أو النواة المرتدة (recoil nucleus). ويحمل هذا الجسيم أو النواة جزءاً كبيراً من طاقة النيوترون الساقط فيقوم وبالتالي بتأين المادة وتكون الأزواج الإلكترونية - الأيونية.

وفي حالة إشعاعات جاما أو الأشعة السينية تقوم الإلكترونات الثانوية الناتجة عن التأثير الكهرومغناطيسي أو تأثير كومبتون أو إنتاج الأزواج بعملية تأين المادة وتكون الأزواج الإلكترونية الأيونية فيها.

لذلك، تنتهي جميع الجسيمات المشحونة الثقيلة كجسيمات ألفا والبروتونات والديوترونات والأيونات وشظايا الانشطار النووي والنوى المرتدة والجسيمات المشحونة كالإلكترونات والبوزيترونات وغيرها والأشعة السينية وإشعاعات جاما إلى ما يعرف باسم الإشعاعات المؤينة.

وهناك أنواع أخرى من الكواشف تعتمد في عملها على حدوث بعض التغيرات الكيميائية في مادتها. وبقياس هذه التغيرات الناتجة يمكن الكشف عن كمية الإشعاعات. وتتميز مثل هذه الأنواع من الكواشف بحساسية ضعيفة. لذلك، فإنها لا تستخدم إلا في المجالات الإشعاعية شديدة الكثافة مثل كواشف قياس جرعات تشعييع المنتجات المعالجة بالإشعاع والأغذية. وهناك أنواع أخرى من كواشف النيوترونات تقوم على أساس قياس النشاط الإشعاعي للمادة بعد مرور النيوترونات فيها. فمن المعروف أنه عند مرور النيوترونات في المادة يمتص منها جزء في نوي ذرات المادة، فتحتول بعض هذه الذرات إلى نظائر مشعة. وبقياس النشاط الإشعاعي لهذه النظائر المستحبة يمكن معرفة كثافة النيوترونات الساقطة.

## 2-4 حركة الإلكترونات والأيونات في الغازات

### Motion of electrons and ions in gasses

عند مرور الإشعاعات المؤينة في الغاز تتكون أزواج إلكترونية - أيونية. وتكون كل من الإلكترونات والأيونات حرقة الحركة. ونتيجة لهذه الحركة تتصادم كل من الإلكترونات والأيونات مع ذرات أو جزيئات الغاز الذي تتحرك فيه. ويتناسب متوسط المسار الحر للإلكترونات أو الأيونات في الغاز المعين تتناسب عكسياً مع عدد جزيئات الغاز في وحدة الحجم (متوسط المسار الحر هو عبارة عن متوسط المسافة التي يتحركها الجسيم دون تصادم). ويبلغ متوسط المسار الحر في الظروف المعيارية للضغط والحرارة حوالي  $10^{-5} - 10^{-4}$  سم بالنسبة لمعظم الغازات (الظروف المعيارية للضغط هي 760 مم زئبق وللحرارة هي 20°C). وعموماً، يكون اتجاه حركة الإلكترونات والأيونات المتحركة عشوائياً، طالما لا تخضع لتأثير مجال كهربائي.

#### 4-2-1 الحركة الانسياقية The drift motion

عند وجود الإلكترونات والأيونات المتكونة في الغاز تحت تأثير مجال كهربائي شدته  $E$  تتحرك هذه الإلكترونات والأيونات حركة انسياقية تحت تأثير هذا المجال، في نفس اتجاه المجال بالنسبة للأيونات الموجبة وفي اتجاه معاكس لاتجاهه بالنسبة للإلكترونات. ويقصد بالحركة الانسياقية أن الجسيم المشحون (سوء الإلكترون أو الأيون) يبدأ تحركه بتسرع تحت تأثير المجال الكهربائي لكنه سرعان ما يصطدم بذرات الغاز الموجدة في الحيز فيفقد كل طاقته التي اكتسبها أو جزءا منها، ثم يبدأ في التسارع من جديد ... وهكذا. ويمكن تحديد السرعة المتوسطة للحركة الانسياقية من العلاقة:

$$v = \mu (E / P) \quad (4-1)$$

حيث  $v$  سرعة الحركة الانسياقية ،  $E$  شدة المجال الكهربائي،  $P$  ضغط الغاز . ويعرف المعامل  $\mu$  بمعامل الحركة mobility (أي القدرة على الحركة)، وهو يتوقف على نوع الغاز كما يعتمد على كل من شدة المجال الكهربائي المؤثر  $E$  والضغط  $P$  . ويكون مقدار  $\mu$  صغير عندما يكون مقدار  $E/P$  صغير، إلا أن  $\mu$  يصبح ثابتا عندما يصبح مقدار  $E/P$  كبيرا . وتنص السرعة الانسياقية للإلكترونات في الغاز إلى ما يقرب من  $10^6 - 10^7$  سم/ثانية عندما تكون  $E/P$  في حدود 10 فولت/سم.  $x$  مم زئبق .

#### 2-2-2 الالتصاق The attachment

هناك ظاهرة أخرى تحدث أثناء حركة الإلكترونات والأيونات في الغاز. فعند تصادم الإلكترون الحر مع جزء متعدد (أو ذرة) من جزيئات الغاز (أو ذرات) يمكن أن يلتصق هذا الإلكترون مع الجزيء (أو الذرة) المتعدد، ويكتون وبالتالي جزيء سالب. وتعرف هذه الظاهرة باسم الالتصاق.

ويعرف معامل الالتصاق  $h$  بأنه عبارة عن احتمال حدوث الالتصاق عند تصادم إلكترون واحد بجزيء متعدد. ويعتمد هذا

المعامل على نوع الغاز، وتصل قيمته بالنسبة للأكسجين وبخار الماء والغازات الهالوجينية الأخرى حوالي  $10^{-3}$  وهي قيمة كبيرة. ويؤدي الالتصاق إلى فقد الإلكترونات الحرجة من مجموعة الإلكترونات الناتجة عن التأين. لذلك، فإنه يجب مقاومتها حتى لا يفقد جزء كبير من هذه الإلكترونات. لهذا السبب يجب عدم استخدام الغازات الهالوجينية أو الأكسجين أو بخار الماء في بعض أنواع الكواشف الغازية.

### 3-2-4 إعادة الالتحام The recombination

عند وجود إلكترون سالب وأيون موجب بالقرب من بعضهما البعض فإنهم يمكن أن يعيدا التحامهما، مكونين بذلك ذرة أو جزيئاً متعادلاً. وتعرف هذه الظاهرة باسم إعادة الالتحام (recombination). ويتناسب معدل إعادة الالتحام (أي عدد مرات إعادة الالتحام في وحدة الجموم وفي وحدة الزمن) تناوباً طردياً مع تركيز كل من الإلكترونات  $n$  والأيونات  $n_+$  ويمكن تحديده من العلاقة:

$$dn_+/dt = dn_-/dt = -\alpha n_+ n \quad (4-2)$$

حيث  $\alpha$  معامل ثابت يعرف باسم معامل إعادة الالتحام، ويترافق مقداره للهواء بين  $10^{-7} - 10^{-10}$ ، وذلك عندما تكون الشحنات السالبة والمحببة موزعة توزعاً متجانساً في الحيز الذي تشغله. أما إذا كانت الشحنات مرکزة في منطقة ما (كما يحدث عند تكون الأزواج الإلكترونية الأيونية على طول أثر(مسار) الجسم المشحون يزداد معامل إعادة الالتحام زيادة واضحة.

وتتجدر الإشارة إلى أن حركية الإلكترونات أكبر بكثير من حركية الأيونات. كذلك، فإن حركية الإلكترونات، لا تؤدي إلى حدوث تغير ملموس في ضغط الغاز أو في شدة المجال الكهربائي.

### 3-4 التيار الإلكتروني والأيوني في الغازات The electron and ion currents in gasses

يمثل انتقال الإلكترونات والأيونات في الغاز انتقالاً للشحنة الكهربائية. وهذا بدوره هو بمثابة مرور تيار كهربائي شدته  $I$  يمكن تحديده من العلاقة التالية:

$$I = I_+ + I_- \quad (4-3)$$

حيث:  $I_+$  ،  $I_-$  هما عبارة عن شدة التيار الأيوني والإلكتروني على الترتيب.

وعموماً، يمكن أن يمر تيار كهربائي في الغاز حتى في حالة عدم وجود مجال كهربائي، وذلك بسبب ظاهرة الانتشار (diffusion) ، حيث تنتشر كل من الإلكترونات والأيونات من الوسط الأكثـر تركيزاً إلى الوسط الأقل تركيزاً. ويكون نتـيـة لهذا الانتـشار تـيـار كـهـربـائـي شـدـته لـلـأـيـونـات هـيـ:

$$I_{D+} = -e D_+ (dn_+/dx) \quad (4-4)$$

وـشـدـته لـلـإـلـكـتـرـوـنـات هـيـ:

$$I_{D-} = -e D_- (dn_-/dx) \quad (4-5)$$

حيث:  $D_+$  ،  $D_-$  معامل الانتشار للأيونات وللإلكترونات بالترتيب. أما  $(dn_+/dx)$  فهو معدل تغير تركيز الأيونات بتغيير المسافة،  $(dn_-/dx)$  فهو معدل تغير تركيز الإلكترونات بتغيير هذه المسافة. بتغيير المسافة .

أما في حالة وجود مجال كهربائي شدته  $E$  فإنه إلى جانب الحركة الانتشارية تتحرك كل من الأيونات والإلكترونات حركة انسياقية تحت تأثير هذا المجال بالإضافة إلى تلك الحركة الانتشارية. وينتج عن هذه الحركة الانسياقية مرور تيار كهربائي شدته لوحدة المساحات (أي كثافته) للأيونات هي:

$$I_{E+} = e n_+ v_+ \quad (4-6)$$

وللإلكترونات هي:

$$I_{E-} = -e n_- v_- \quad (4-7)$$

حيث  $v_+$  ،  $v_-$  هما سرعات الانسياق لكل من الأيونات والإلكترونات بالترتيب.

بذلك، يمكن إيجاد شدة التيار الكلي الناتج عن كل من الانتشار والمجال الكهربائي لكل من الإلكترونات والأيونات، وذلك بجمع مركباته الأربع المختلفة (من 4-4 حتى 7-4)، أي أن:

$$I = e ( n_+ v_+ + n_- v_- - D_+ (dn_+/dx) + D_- (dn_-/dx) ) \quad (4-8)$$

#### 4-4 الكواشف الغازية The gas detectors

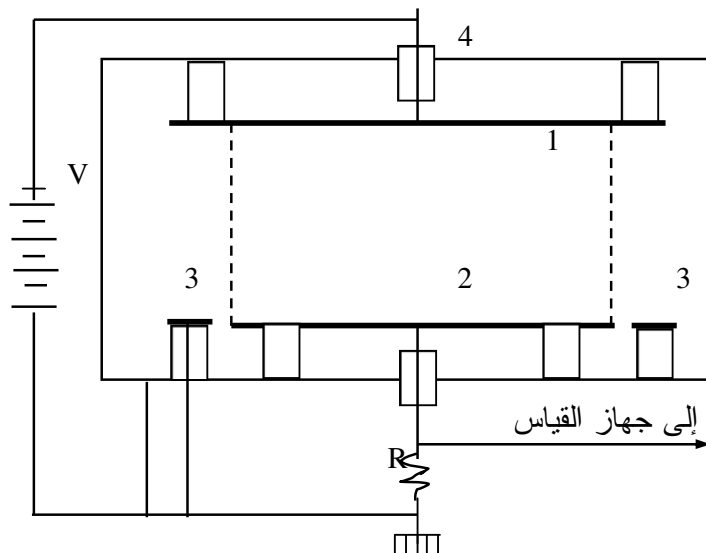
يقوم مبدأ عمل الكواشف الغازية على تجميع الشحنات الكهربائية (الإلكترونية والأيونية) الناتجة عن تأين ذرات أو جزيئات الغاز عند مرور الإشعاعات المؤينة فيه. وبقياس الشحنة الكهربائية الناتجة أو التيار الناتج عنها يمكن الكشف عن مرور الإشعاعات في الغاز. وتقسام الكواشف الغازية إلى ثلاثة أنواع رئيسة هي:

- غرفة التأين
- العدادات التناضبية
- عدادات غايغر - ميلر.

#### 1-4-4 غرفة التأين The ionization chamber

هي عبارة عن كاشف غازي (gas detector) للإشعاعات المؤينة. ويقوم عملها على تجميع الأزواج الإلكترونية - الأيونية الناتجة عن هذه الإشعاعات في شكل تيار كهربى وقياس هذا التيار أو جهد النبضات الناتجة عنه. وت تكون غرفة التأين عموماً من قطبين فلزيين موصلين بطارفي منبع جهد عال. وقد يتخذ القطبان أشكالاً مختلفة، ولكن في معظم الأحيان يكون القطبان على شكل لواح مستوية. ويوضع القطبان داخل إناء مفرغ من الهواء الجوي ويملاً بالغاز المطلوب حتى ضغط معين. ويتوقف ضغط الغاز والأبعاد الهندسية للقطبين عموماً على نوع الجسيمات المطلوب الكشف عنها وعلى طاقتها. ويستخدم في بعض غرف التأين الهواء الجوي العادي. ويبين شكل (4-1) رسمًا تخطيطيًا

لغرفة تأين ذات قطبين مستويين، موصلة بمنبع الجهد العالي اللازم لتغذية أقطابها. ويعرف القطب المتصل بجهاز قياس التيار بالمجامع أو المصعد أو الأنود (The anode). ويختلف الجهد الواقع على هذا القطب باختلاف التيار المار فيه. أما القطب الآخر فيقع عادة تحت تأثير جهد عال (جهد المنبع) ويعرف بقطب الجهد العالي. يثبت القطبان باستخدام مواد عازلة كهربياً في الإناء الخارجي للغرفة. ويستخدم في العديد من غرف التأين حفستان تعرفان بالحلقتين الحارستين (guard rings). ويمكن تحقيق الحلقتين الحارستين بفصل الجزأين الطرفيين من القطب المجمع عن القطب نفسه، بحيث لا تكون المسافة الفاصلة كبيرة. ويجب أن يكون جهد الحلقة الحارسة القريبة من المجمع قريباً من جهد القطب المجمع. والغرض من هاتين الحلقتين الحارستين هو تشكيل المجال الكهربائي بالقرب من أطراف القطب المجمع، بحيث تكون خطوط قوى المجال الكهربائي بين قطب الجهد العالي والقطب المجمع عند الطرفين خطوطاً مستقيمة وموازية لخطوط التي في الوسط. ويؤدي ذلك إلى تحديد حجم الغرفة التي تجمع منها الشحنات الكهربائية تحديداً دقيقاً



شكل (4-1): رسم تخطيطي لغرفة تأين ذي قطبين مستويين

1- قطب الجهد العالي

3- حلقة حراسة

2- المجمع (الأنود)

4- عازل

ويعرف هذا الحجم ( والمبين في الشكل 4-1 بين الخطين المتقطعين ) بالحجم الفعال أو الحجم الحساس للغرفة.

وعند مرور الإشعاعات بين قطبي الغرفة تؤدي هذه الإشعاعات إلى تأمين الغاز ويتم تجميع الشحنات الكهربائية الناتجة عن التأمين داخل الحجم الفعال على المجمع ( حيث أن الأيونات والإلكترونات المكونة خارج هذا الحجم تتجمع على الحلقات الحارسة وتمر مباشرة إلى الأرض ). وعند إهمال الانتشار وإعادة الالتحام يكون التيار الناتج عن تجميع الشحنات من الحجم الفعال على المجمع هو :

$$I_s = e \int N_0 (\tau) dt \quad (4-9)$$

حيث  $(\tau) N_0$  هو عدد الأزواج الناتجة في وحدة الحجم في الثانية الواحدة . ويؤخذ التكامل بالنسبة للحجم الفعال كله . وهذه العلاقة صحيحة إذا كان  $(\tau) N_0$  ثابتًا بالنسبة للزمن ( أي أن عدد الجسيمات التي تدخل الغرفة ثابتًا بالنسبة للزمن ). وتعني هذه العلاقة أن الشحنات التي تتكون نتيجة التأمين في الحجم الفعال يتم تجميعها بالكامل على المجمع ويعرف التيار في هذه الحالة باسم تيار التشبع (saturation current)  $I_s$  .

ويمكن إهمال كل من تيار الانتشار وإعادة الالتحام عندما تكون شدة المجال بين الأقطاب ( أي فرق الجهد بينها ) كبيرة . عندئذ تصبح المعادلة (4-9) صحيحة . أما إذا كان فرق الجهد صغيراً أو كان الغاز المستخدم من الغازات الهالوجينية أو الأكسجين أو بخار الماء فإن إعادة الالتحام تلعب دوراً مهماً وخصوصاً بالنسبة للغازات الهالوجينية . لذلك ، فإنه يجب أن يوضع التيار المفقود نتيجة لإعادة الالتحام أو نتيجة للالتصاق في الاعتبار . وبالنسبة لغرف التأمين ذات الأقطاب المستوية فإنه يمكن حساب التيار المفقود  $\Delta I_s$  بسبب إعادة الالتحام من العلاقة التالية :

$$(\Delta I_s)_r = - I_s (\alpha N_0 (\tau) d^2) / \sigma v_+ v_- \quad (4-10)$$

حيث  $I_s$  هو تيار التسرب،  $d$  هي المسافة بين القطبين و  $v_+$  ،  $v_-$  هما سرعتا الانسياق لكل من الأيونات والإلكترونات بالترتيب.

أما بالنسبة لانتشار فيمكن أن يؤدي إلى فقد نسبة أخرى من التيار وذلك لأن الانتشار يمكن أن يحدث في أي اتجاه. ويمكن تحديد قيمة الجزء المفقود  $(\Delta I_s)_{dif}$  بسبب الانتشار من العلاقة:

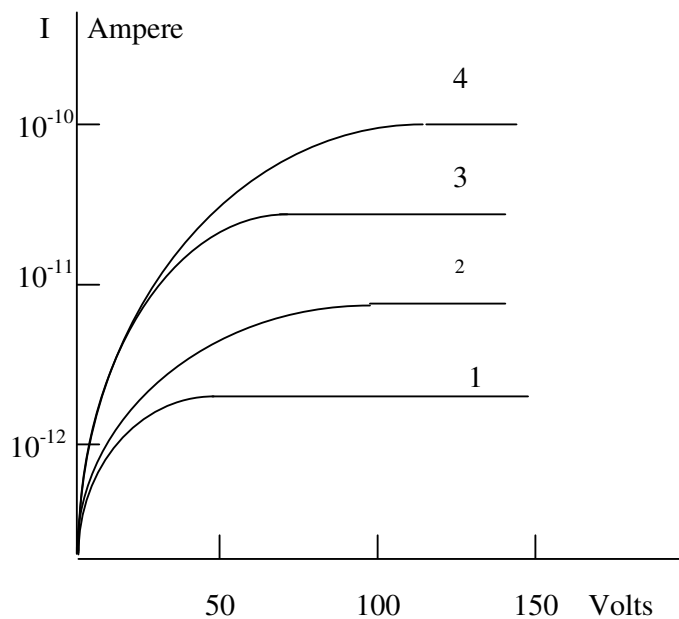
$$(\Delta I_s)_{dif} = - I_s (\epsilon K T / e V) \quad (4-11)$$

حيث:  $K$  ثابت بلتسمان،  $T$  درجة الحرارة المطلقة،  $V$  فرق الجهد بين القطبين،  $\epsilon$  عبارة عن النسب بين الطاقة المتوسطة للأيونات في حالة وجود المجال وبدونه. ويوضح شكل (4-2) العلاقة بين التيار المجتمع  $I$  وفرق الجهد  $V$  بين القطبين. وتعرف هذه العلاقة باسم المميزة الفولت - أمبيرية لغرفة التأين. ويعتمد شكل هذه المميزة على الأبعاد الهندسية للغرفة وعلى نوع الغاز المستخدم وضغطه ونوع الإشعاعات الماربة في الغرفة وشدةتها (أي كثافتها). ويوضح تأثير هذه العوامل من شكل (4-2) الخاص بغرفة تأين أسطوانية الشكل والذي يوضح المميزة الفولت أمبيرية لنوعين من الغاز عند شدتين مختلفتين لإشعاعات جاما. وفي حالة البروتونات والجسيمات المشحونة الثقيلة تلعب إعادة الالتحام دوراً أكثر لأن التأين النوعي لهذه الجسيمات كبير للغاية، وبالتالي لا يحدث التسرب إلا عند جهود أعلى.

#### 4-4-2 خصائص غرفة التأين

تستخدم جميع غرف التأين عند قيم الجهد التي تحقق تيار التسرب وهو ما يعرف بالعتبة(plateau). ونظراً لبساطتها وسهولة تشغيلها فإنه يمكن تصميم غرف بأشكال وأحجام مختلفة واستخدامها لقياس جميع أنواع الإشعاعات، بما في ذلك إشعاعات جاما والنيوترونات. وعموماً يمكن استخدام غرف التأين لقياس القيمة المتوسطة للتيار الناتج عن عدد من الجسيمات أو لقياس نبضة التيار (أو الجهد) الناتج عن مرور جسيم واحد. ويعرف هذا النظام الأخير لتشغيل غرفة التأين بالنظام النبضي،

وهو غالباً ما يستخدم في قياس الشدة الإشعاعية الضعيفة أو عند قياس طاقة الجسيمات أو الإشعاعات. عموماً، يمكن استخدام غازات مختلفة



شكل (2-4): المميزة الفولت أمبيرية لغرفة التأين  
 1- هليوم وكتافة إشعاعات صغيرة      2- هواء وكتافة صغيرة  
 3- هواء وكتافة كبيرة      4- هليوم وكتافة إشعاعات كبيرة

داخل الغرفة. لكن بالنسبة للغرف النبضية يفضل استخدام الغازات الخاملة تحت ضغوط معينة، وذلك لضمان تجميع الإلكترونات وتكوين النبضة بسرعة وفي أقصر زمن ممكن، وذلك حتى تتم عملية التسجيل خلال زمن قصير وتصبح الغرفة جاهزة لاستقبال جسيم آخر وتسجيله.

وعند تصميم غرفة التأين للأغراض المختلفة يجب توجيه عناية خاصة إلى نوعية العازلات المستخدمة لعزل الأقطاب عن بعضها وعن جسم الغرفة وخاصة العازل المستخدم لثبيت وعزل المجمع. فيجب أن

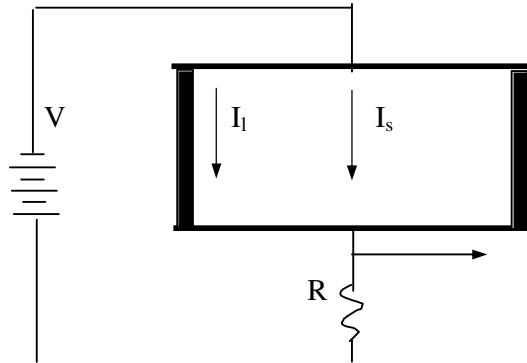
تكون مادة العازل ذات مقاومة عالية جداً. ويرجع السبب في ذلك إلى أن التيار الناتج عن مرور الجسيم يكون صغيراً للغاية. فإذا كانت مقاومة العازل بين القطبين غير كافية فإنه يمكن أن يتسرب بين القطبين تيار يعرف باسم تيار التسرب (leakage current) قيمته هي:

$$I_l = V / R_c$$

حيث:  $V$  جهد المنبع،  $R_c$  مقاومة العازل (شكل 4-3). فإذا كانت مقاومة العازل في حدود  $10^{13}$  أوم وفرق الجهد بين القطبين 100 فولت يمر تيار تسرب  $I_l$  في العازل مقداره:

$$I_l = 100 / 10^{13} = 10 \text{ pico-Ampere}$$

وهذا تيار كبير جداً بالنسبة للتيار الناتج عن الجسيم النووي  $I_s$ . لذلك، يجب أن يكون العازل المستخدم ذو مقاومة عالية، بحيث لا تقل عن  $10^{16} - 10^{17}$  أوم.



شكل (4-4)  
تيار التسرب  $I_l$  في غرفة التأين

ويمكن أن يزداد تيار التسرب حتى مع استخدام عازل ذي مقاومة عالية وذلك خلال سطح العازل بسبب امتصاص السطح لبخار الماء أو لأي شوائب أخرى. لذا، يجب المحافظة على سطح العازل نظيفاً وجافاً وخاليًا تماماً من أيّة خدوش مهماً كانت صغيرة.

كذلك، تلعب الحلقات الحارسة دورا آخر بالإضافة إلى دورها الرئيسي (وهو تشكيل خطوط القوى لتحديد الحجم الفعال). فهذه الحلقات تمنع الإلكترونات والأيونات التي تتكون على جانبي الحجم الفعال من التجمع على العازل حتى لا تؤثر هذه الشحنات على شكل المجال في الحجم الفعال وحتى لا تؤدي إلى زيادة تيار التسرب.

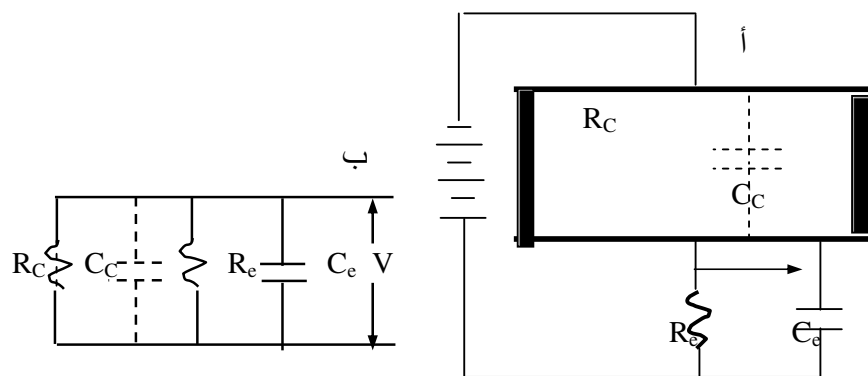
#### 4-4-3 منحنى الاستجابة الديناميكي لغرفة التأين

يمكن النظر إلى أي غرفة تأين من الناحية الإلكترونية على أنها عبارة عن مقاومة  $R_C$  ( مقاومة العازل بينقطبين ). ولما كان القطبان يشكلان سطحين متوازيين فإنه يمكن اعتبارهما مكتفياً سعته  $C_C$  (كالمبين على شكل 4-4أ بالخط المقطع). وهكذا، تتميز أية غرفة تأين بمقاومة داخلية  $R_C$  وسعة ذاتية  $C_C$ . كذلك، فإن الجهاز المستخدم لقياس التيار يحتوي في مدخله على مقاومة داخلية  $R_e$  وسعة  $C_e$  (شكل 4-4أ). وجميع هذه العناصر متصلة مع بعضها على التوازي (شكل 4-4ب). لذا يمكن اعتبار أن السعة الكلية  $C$  للغرفة وجهاز القياس هي:

$$C = C_C + C_e$$

والمقاومة الكلية لها هي:

$$R = R_C R_e / (R_C + R_e)$$



شكل (4-4)  
الدارة المستخدمة لقياس التيار الناتج من غرفة التأين

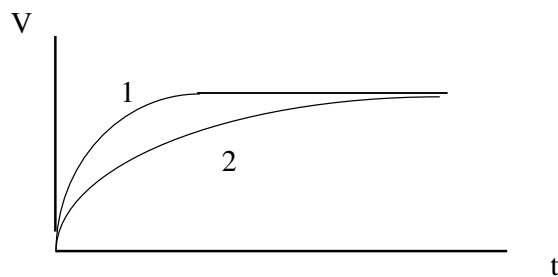
لذلك، ينتج عن تيار الغرفة فرق جهد  $V$  على مدخل الجهاز يمكن تحديده من قانون كيرشوف كالتالي:

$$RI = V + RC \left( \frac{dv}{dt} \right) \quad (4-12)$$

وبحل هذه المعادلة التفاضلية يمكن إيجاد كيفية تغير الجهد على مدخل الجهاز كدالة من الزمن حيث نجد أن الجهد  $V$  عبارة عن:

$$V = RI \left( 1 - e^{-t/RC} \right) \quad (4-13)$$

وتعرف الكمية  $RC$  بثابت الزمن للدارة. وكلما كان هذا الثابت  $RC$  صغيراً وصل الجهد إلى قيمة التشبع بسرعة (المنحنى 1 شكل 4-5). أما عند زيادة قيمة  $RC$  يصل الجهد إلى قيمة التشبع بعد زمن أكبر (المنحنى 2 على نفس الشكل).



شكل (5-4)  
منحنى الاستجابة الديناميكي لغرفة التأين

#### 4-4-4 استخدام غرف التأين للكشف عن الإشعاعات المختلفة

يمكن تصميم غرف تأين للكشف عن الأنواع المختلفة من الإشعاعات المؤينة. ويتوقف حجم الغرفة ومواصفاتها وضغط الغاز

بداخلها على نوع الإشعاعات المطلوب الكشف عنها وعلى طاقة هذه الإشعاعات. لذا، فإنه يمكن تقسيم غرف التأين من حيث نوع الإشعاعات إلى الآتي:

#### **أ- غرف التأين لجسيمات ألفا والجسيمات المشحونة الثقيلة**

حيث أن القدرة الاختراقية لجسيمات ألفا والجسيمات المشحونة الثقيلة الأخرى صغيرة، فإن هذه الجسيمات تمر بالكامل في جدار الغرفة ولا تمر إلى داخلها. لذلك، فإنه يجب عمل نافذة رقيقة في جدار الغرفة تسمح بدخول هذه الجسيمات من خلالها. وتصنع النافذة عموماً من مادة خفيفة كالبوليإيلوم أو المواد العضوية الخفيفة، وتكون في شكل غشاء رقيق جداً (أقل من 1 ميلي غرام/سم<sup>2</sup>) حتى لا يتمتص الغشاء جزءاً كبيراً من طاقة الجسيمات، على أن يتحمل هذا الغشاء فرق الضغط الواقع عليه والناتج عن اختلاف ضغط الغاز داخل الغرفة والضغط الجوي خارجها.

ويستخدم هذا النوع من الغرف للكشف عن جسيمات ألفا، خاصة الناتجة عن تلوث أسطح الأجهزة والمعدات بالمواد المصدرة لجسيمات ألفا. وتنتمي هذه الغرفة بحساسيتها حيث يمكنها الكشف عن التلوث الضعيف الذي لا يزيد نشاطه الإشعاعي على جسيم واحد في الدقيقة.

**مثال:**

غرفة تأين غازية تدريجها الأصغر يتراوح بين صفر، 500 جسيم/الدقيقة. فإذا علمت أن نافذتها تمرس 20% من طاقات جسيمات ألفا وإذا كانت طاقة هذه الجسيمات 5 ميغا إلكترون فولت، أحسب مقدار التيار الناتج عنها عندما يكون المؤشر في منتصف التدرج.

**الحل:**

عندما يكون المؤشر في منتصف التدرج يكون عدد جسيمات ألفا هو  $250 \div 2 = 250$  جسيماً في الدقيقة.

مقدار الطاقة المفقودة في النافذة من كل جسيم هو:

$$\Delta E = 5 \times 20 / 100 = 1 \text{ MeV}$$

.. مقدار الطاقة المفقودة في تأين الغاز لكل جسيم هو:

$$E_1 = 5 - 1 = 4 \text{ MeV}$$

.. مقدار شدة التيار I الناتج هو عبارة عن الشحنة المتولدة  
مقسمة على زمن تولدها (1 دقيقة = 60 ثانية، أي أن:

$$I = dQ / dt$$

$$= 250 \times 4 \times 10^6 \times 1.6 \times 10^{-19} / 35 \times 60$$

$$= 7.6 \times 10^{-14} \text{ Ampere} = 7.6 \times 10^{-2} \text{ picoAmpere}$$

## ب- غرف التأين لجسيمات بيتا

من المعروف أن قدرة جسيمات بيتا على الاختراق كبيرة حيث يصل مداها في الهواء الجوي إلى عدة أمتار، ( حوالي 5 متر) عندما يغطي طيفها مدي طاقة يبدأ من الصفر وحتى حوالي 1 ميغا إلكترون فولت. لذلك، فإن ضغط الغاز داخل الغرفة يجب أن يكون كبيرا حتى تتوقف هذه الجسيمات بالكامل داخل الغرفة. وللسبب نفسه فإنه تستخدم نوافذ ذات سمك أكبر لتحمل فرق الضغط داخل الغرفة وخارجها.

## ج- غرف التأين لإشعاعات جاما

نظرا للقدرة الاختراقية الفائقة لإشعاعات جاما فإنه لا يلزم وجود نافذة لغرف التأين الخاصة بالكشف عن هذه الإشعاعات. ونظرا لصغر احتمال حدوث كل من التأثير الكهروضوئي وتاثير كومبتون أو إنتاج الأزواج داخل الغاز فإن السطح الداخلي للغرفة يبيطن طبقة رقيقة من الرصاص (لكرر عدده الذري )، وذلك ليزيد من احتمال حدوث أي من هذه العمليات الثلاثة في الرصاص وانطلاق الإلكترون إلى داخل الغاز للقيام بالتأين. إلا أن سمك هذه الطبقة يجب أن يكون صغيرا ولا امتصت الإلكترونات المنبعثة من العمليات الثلاثة فيه. وجدير بالذكر أن جزءا قليلا من إشعاعات جاما هو الذي يؤدي إلى انطلاق هذه

الإلكترونات. أما الجزء الآخر فيمر من الغرفة دون أن يترك أي أثر ولا يسجل فيها. لذلك، تتميز جميع أنواع كواشف إشعاعات جاما بمعامل مهم يعرف باسم الكفاءة الذاتية للكاشف.

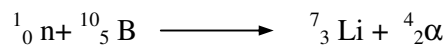
### الكافأة الذاتية للكاشف The detector intrinsic efficiency

هي عبارة عن نسبة عدد الإشعاعات المسجلة في الكاشف إلى العدد الكلي للإشعاعات الساقطة عليه. وتناسب كفاءة غرفة التأين الخاصة بالكشف عن إشعاعات جاما تابعاً عكسياً مع طاقة هذه الإشعاعات. كذلك، تتوقف كفاءة الكاشف على حجم الغرفة وعلى نوع الغاز المستخدم فيها وضغطه، وعلى نوع المادة المبطنة للغرفة.

وتتراوح الكفاءة الذاتية لغرف التأين لإشعاعات جاما بين عدة أجزاء من مائة ألف إلى عدة أجزاء من المائة.

### د- غرف التأين للنيوترونات

عند مرور النيوترونات في المادة فإنه لا ينتج عنها أي تأين. لذا فإنه من الضروري إيجاد وسيلة لتوليد الجسيمات المشحونة بفعل النيوترونات، حيث تؤدي هذه الجسيمات المشحونة إلى عملية التأين. وللهذا الغرض يوضع داخل الكاشف النيوتروني مادة من المواد التي يمكن أن ينطلق منها بروتونات أو جسيمات ألفا نتيجة حدوث تفاعلات نووية مختلفة بينه وبين النيوترونات الساقطة. لذلك، يستخدم في العديد من غرف التأين الخاصة بالكشف عن النيوترونات غاز ثالث فلوريد البور  $\text{BF}_3$ . فعند سقوط النيوترونات على هذا الغاز يتفاعل بعضها مع البور وينتج عن ذلك انطلاق جسيمات ألفا طبقاً للتفاعل التالي:



ويقوم جسيم ألفا بتأين ذرات أو جزيئات الغاز. وجدير بالذكر أن كفاءة الكاشف النيوتروني تكون صغيرة وتتوقف على عوامل كثيرة منها طاقة النيوترونات وكثافة الغاز وحجم الغرفة. ولا تستخدم نوافذ في

الكواشف النيوترونية بسبب قدرة النيوترونات الفائقة على اختراق جدار الغرفة.

#### 4-5 غرف التأين النبضية pulse-type ionization chamber

تستخدم غرف التأين النبضية لدراسة كل جسيم على حدة، أي عند تعاقب الجسيمات والإشعاعات الساقطة الواحد تلو الآخر بفارق زمني يسمح بالانتهاء من تسجيل الجسيم السابق. لذلك، يجب أن يكون زمن استمرار النسبة الكهربائية (pulse-duration) الناتجة عن الجسيم صغيراً جداً، وذلك للتمييز بين الجسيمات المتتابعة. ويعتمد زمن استمرار النسبة على ثابت الزمن  $RC$  للغرفة وللجهاز القياسي، وعلى المسافة بينقطبين. ومن الواضح أن زمن استمرار النسبة وجهدها يعتمدان اعتماداً كبيراً على مكان حدوث التأين بالنسبة للمجمع، أي على وضع واتجاه أثر الجسيم في الغرفة. فإذا كان الأثر قريباً من المجمع فهذا يعني وصول الإلكترونات بسرعة إلى هذا القطب وبالتالي عدم فقد أي منها أثناء الانتقال، مما يؤدي إلى ظهور نسبة جهد عالية على المخرج. أما إذا مر جسيم آخر بالطاقة نفسها بعيداً عن المجمع فإن الإلكترونات الناتجة عن طول أثره تستغرق وقتاً طويلاً للوصول إلى المجمع ويضيع جزءاً منها بسبب التصادمات مع جزيئات الغاز، مما يؤدي إلى إضعاف التيار الكهربائي وبالتالي نسبة الجهد الخارجة. وبالإضافة إلى ذلك، فإن جهد النسبة وزمن استمرارها يتوقفان على زمن وصول كل من الإلكترونات إلى المجمع والأيونات إلى قطب الجهد العالي. ولما كانت حركة الإلكترونات سريعة (حيث تبلغ سرعتها في الغرفة حوالي  $10^{-6}$  م/ثانية)، وحركة الأيونات بطيئة (حيث تبلغ سرعتها حوالي  $10^{-3}$  م/ثانية) فإن الجهد الناتج من المركبة الإلكترونية يصل إلى أقصى قيمة له خلال زمن قصير (في حدود  $10^{-6}$  ثانية). أما الجهد الناتج عن المركبة الأيونية فيصل إلى أقصى قيمة له خلال زمن كبير (حوالي  $10^{-3}$  ثانية). وبالنسبة للغرفة ذات الأقطاب المستوية يمكن

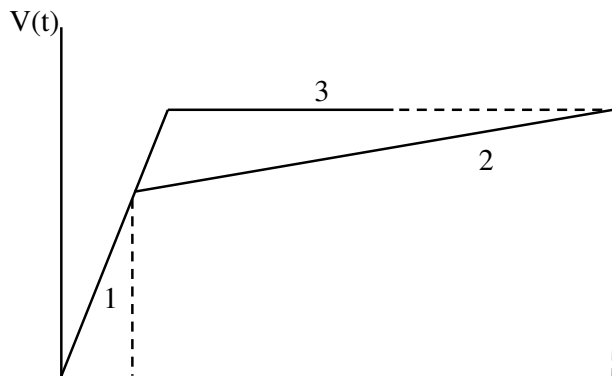
إثبات أن جهد المركبة الإلكترونية أو الأيونية كدالة من الزمن  $t$  يمكن تحديده من العلاقة:

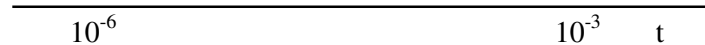
$$V(t) = n e v t / C d$$

حيث  $n$  عدد الإلكترونات أو الأيونات المكونة،  $v$  السرعة الانسياقية للإلكترونات أو الأيونات  $C$  السعة الداخلية للغرفة،  $d$  المسافة بين القطبين. ويبيّن شكل (4-6) كيفية تغير جهد كل من المركبة الأيونية والمركبة الإلكترونية لغرفة التأين كدالة من الزمن.

وتعكس هذه العلاقة اختلاف جهد النبضة باختلاف السرعات الانسياقية للإلكترونات والأيونات. لذلك، تعتبر غرفة التأين من هذا النوع بطيئة. ويمكن عمل أنواع أخرى سريعة، وذلك باستخدام شبكة فلزية تثبت بين المجمع وقطب الجهد العالي، وتكون أقرب إلى المجمع (شكل 4-7). ويكون جهد هذه الشبكة واقعاً بين الصفر (جهد المجمع) والجهد العالي  $V$  ويؤدي إدخال هذه الشبكة إلى خفض السعة  $C$  بين مسار الجسم والقطب المجمع. وبالتالي، تصبح العلاقة بين جهد المركبة الإلكترونية وبين الزمن كالمبيّن بالمنحنى (3) شكل (4-6)

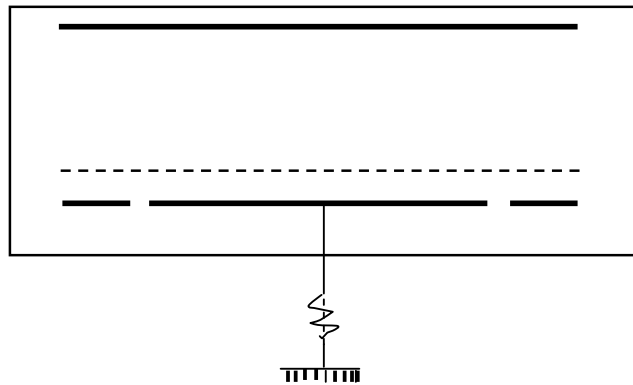
وهكذا يجب أن تحتوي غرف التأين النبضية على شبكة، ويجب أن تملأ الغرف بغاز من النوع الذي لا تتكون فيه أيونات سالبة. لذلك، يفضل استخدام الغازات الخاملة في هذا النوع من الغرف. كذلك، يجب





شكل (6-4)

تغير جهد كل من المركبة الإلكترونية (1) والأيونية (2) كدالة من الزمن  $t$   
وغير جهد المركبة الإلكترونية (3) كدالة من الزمن بعد وضع الشبكة الفلزية



شكل (7-4)

الشبكة الفلزية في غرفة التأين

أن يكون فرق الجهد بين القطبين كبيراً (عند نهاية العتبة في شكل 6-4) وذلك كي تكون السرعة الانسياقية للإلكترونات ثابتة ولا تعتمد على فرق الجهد بين القطبين. ويستخدم غاز الأرجون في معظم هذه الغرف. ويضاف إليه عادة نسبة صغيرة من غاز ثاني أكسيد الكربون (حوالي 5%)، وذلك لضمان بقاء السرعة الانسياقية ثابتة وعدم زيادتها بزيادة فرق الجهد بين القطبين.

وتجر الإشارة إلى أن غرف التأين النبضية لا تستخدم عموماً للكشف عن جسيمات بيتا وذلك بسبب صغر التأين النوعي  $S$  لهذه

الجسيمات، مما يؤدي إلى إنتاج عدد قليل من الإلكترونات نتيجة جسيم بيتا واحد، وبالتالي يكون التيار الناتج ضعيفاً ويصعب تكبيره وتسجيله.

#### 6-4-4 القدرة التحليلية للطاقة Energy resolving power

من أهم خصائص غرف التأين النبضية الخاصة المعروفة باسم القدرة التحليلية للطاقة (energy resolving power). فعند سقوط عدد جسيمات ألفا ذات طاقة واحدة على نافذة الغرفة فإن هذه الجسيمات تعبر النافذة إلى داخل الغرفة باختلاف طفيف في طاقاتها، وذلك بسبب حدوث تبعثر في طاقة الجسيمات المختلفة. وفضلاً عن ذلك فإنه حتى في حالة دخول هذه الإشعاعات (مثل إشعاعات جاما) إلى الغرفة بالطاقة نفسها فإن كل فوتون يطلق إلكتروناً أو زوجاً إلكترونياً بوزترونياً يكون بدوره عدداً مختلفاً من الأزواج الإلكترونية الأيونية، وذلك لأن عملية التأين عملية إحصائية بحتة. كذلك، فإنه عند انتقال الإلكترونات إلى المجمع يمكن أن يضيع بعضها بسبب التصادمات مع ذرات الغاز ومع الأيونات الموجبة، وبالتالي فإن الجسيمات ذات الطاقة الواحدة يمكن أن تنتج نبضات كهربائية يختلف تيارها (وبالتالي جهدها) اختلافاً طفيفاً. ويقال أنه حدث توزع للطاقة. لذلك، فإنه عند تسجيل عدد كبير من الجسيمات ذات طاقة واحدة  $E_0$  يحدث توزع في طاقتها ويظهر طيفها (spectrum) على صورة قمة كالمبينة في شكل (4-8). وتعرف القيمة  $\Delta E$  باسم العرض الكامل عند منتصف الارتفاع full width at half-maximum (FWHM). وبمعرفة قيمة التوزع في الطاقة  $\Delta E$  وطاقة الجسيمات الساقطة  $E_0$  تحدد القدرة التحليلية  $r$  للكاشف، كالتالي:

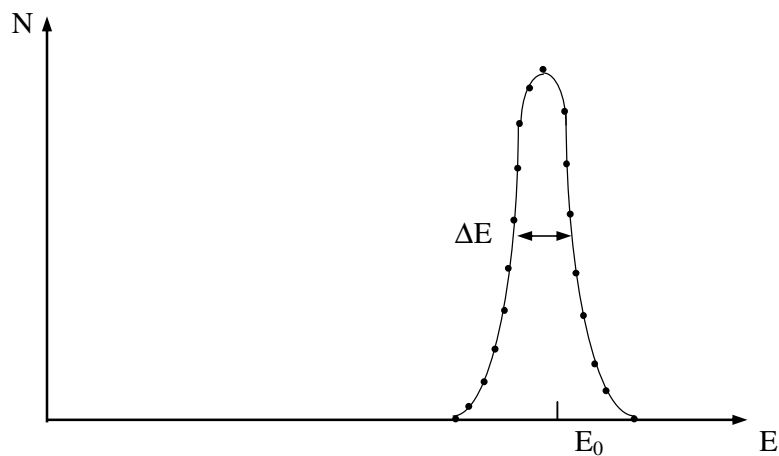
$$r = \Delta E / E_0 \times 100\% \quad (4-15)$$

وتعتمد قيمة التبعثر  $\Delta E$  عموماً، على طاقة الجسيمات الساقطة حيث تزداد بزيادتها كما تعتمد  $\Delta E$  على عوامل أخرى كثيرة مثل سمك النافذة وضغط الغاز وحجم الغرفة وغيرها. لذلك، تتفاوت القدرات التحليلية للغرف المختلفة. وتتراوح القدرة التحليلية للطاقة لغرف التأين بين حوالي 0.3 % ، 7 % وذلك تبعاً للحجم وشكل النافذة وفرق الجهد والسعنة الداخلية وغيرها . وبمعرفة القدرة التحليلية للكاشف أمر مهم جداً. فعند وجود جسيمات ذات طاقات مختلفة فإنه يمكن فصل هذه الطاقات

عن بعضها باستخدام الكاشف المعين إذا كان الفرق في الطاقة أكبر من  $\Delta E$ . أما إذا كان الفرق في الطاقة أقل من  $\Delta E$  فإنه لا يمكن فصل هذه الطاقات عن بعضها وتداخل قممها.

#### 5-4 العدادات التناضجية The proportional counters

عند زيادة فرق الجهد بينقطي غرفة التأين إلى قيمة عالية يبدأ التيار في الزيادة السريعة فوق قيمة التشبع  $I_s$ . ويعود السبب في ذلك إلى



شكل (4-8)  
توزيع طاقة جسيمات ذات طاقة واحدة

أن الإلكترونات الناتجة عن التأين والواقعة تحت تأثير فرق الجهد تكتسب طاقة حرارية تتناسب مع مقدار فرق الجهد الذي تجتازه. وعند زيادة فرق الجهد تزيد الطاقة التي تكتسبها هذه الإلكترونات فتصبح (الإلكترونات) قادرة على تأين ذرات جديدة للغاز، وبالتالي تكون مجموعة ثانوية من الأزواج الإلكترونية - الأيونية، تتضم إلى المجموعة الأولية التي نتجت بفعل الجسيم النووي. وتستمر الإلكترونات كلتا المجموعتين في الحركة بتأثير الجهد وبالتالي تكتسب طاقة جديدة فتؤدي

إلى مرحلة جديدة من التأين الثانوي. وهكذا، فإن الإلكترونات الناتجة من التأين الأولي بفعل الجسيم النووي يتبعها عدة مراحل تأين ثانوي تؤدي إلى مضاعفة عدد الإلكترونات. وهذه المراحل المتتابعة من التأين الثانوي الناتج عن الجهد الكبير تختلف اختلافاً تاماً عن مفهوم التأين الثانوي الناتج عن جسيمات بيتا ذات الطاقة العالية والذي يحدث دون النظر لشدة المجال. وينتج عن تتابع التأين تكاثر هائل لعدد الإلكترونات. وبالإضافة إلى ذلك فعند تصادم الإلكترونات المعلقة بجزئيات الغاز أو عند حدوث إعادة التحام بين الأعداد الهائلة من الإلكترونات والأيونات تتطلّق فوتونات (أشعة سينية) نتيجة لإثارة هذه الجزيئات عند التصادم. ويمكن أن تؤدي هذه الفوتونات إلى تحرير عدد آخر من الإلكترونات من سطح قطب الجهد العالي أو من جزيئات الغاز التي يكون جهد تأينها صغيراً (في حالة وجود خليط من الغازات). وبذلك، يمكن أن تشترك الفوتونات في عملية التأين الثانوي. وبالتالي تنتشر عملية التأين في الحجم الكلي للغاز، ويحدث ما يشبه التفريغ الكهربائي للغاز (gas discharge).

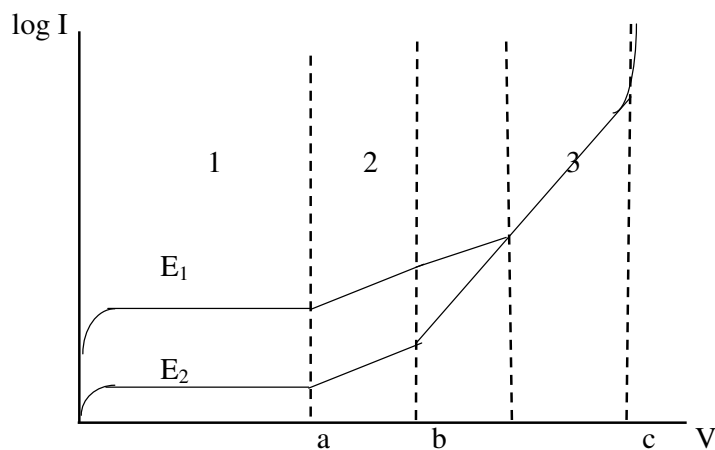
فإذا كان احتمال تكوين إلكترون كهروضوئي بواسطة الإلكترون الواحد هو  $\gamma$  وكان عدد الإلكترونات الثانوية الناتجة عن تصادم إلكترون واحد بالذرات  $n$  ، يكون  $\gamma n$  عبارة عن عدد الإلكترونات الكهروضوئية الناتجة عن  $n$  إلكترون ثانوي. ثم يتضاعف هذا العدد بفعل التصادمات مكوناً  $n^2 \gamma$  إلكتروناً ثانوياً. وهذا العدد الأخير يؤدي بدوره إلى تكوين  $n^2 \gamma^2$  إلكترون كهروضوئي. وبجمع جميع عناصر هذه المتسلالية الهندسية وقسمتها على عدد الإلكترونات الابتدائية يمكن إيجاد معامل التضاعف  $M$  للعداد التناصبي وهو :

$$M = n / (1 - n \gamma) \quad (4-16)$$

ويبيّن معامل التضاعف  $M$  عدد مرات تضاعف الإلكترونات الابتدائية (أي الناتجة عن الجسيم النووي ذاته). فإذا كان مقدار  $n >> 1$  يصبح معامل تضاعف العداد مساوياً  $M = n$  . ويكون هذا التضاعف ناتجاً عن التأين الثانوي فقط، ولا تلعب الفوتونات دوراً ملحوظاً في التأين، وبالتالي يمكن إهمالها واعتبار مقدار  $\gamma$  مساوياً للصفر. ويسمى العداد في هذه الحالة بالعداد التناصبي (proportional counter) نظراً لأن

العدد الكلي للإلكترونات الثانوية يتناسب مع عدد الإلكترونات الابتدائية الناتجة عن الجسيم النووي.

وهكذا، فإنه عند زيادة فرق الجهد بين القطبين فيما بعد عتبة التشبع (النقطة a على الشكل 9-4) لغرفة التأين يبدأ العداد في العمل كعداد تناصي. ويبين شكل (9-4) منطقة الجهد التي يتحقق عندها تشغيل العداد في المنطقة التناصية وهي المنطقة 2. وفي هذه المنطقة



شكل (9-4)

العلاقة بين الجهد والتيار في العدادات

- 1 منطقة غرفة التأين
- 2 منطقة العداد التناصي
- 3 منطقة عداد غايغر - ميولر

يزداد التيار زيادة كبيرة (من 1 إلى 1000 مرة) حسب مقدار الجهد المطبق  $V$ . وعلى الرغم من زيادة التيار فإنه يستمر متناسباً مع عدد الأزواج الإلكترونية الأيونية الناتجة عن الجسيم النووي، وبالتالي متناسباً مع طاقة هذا الجسيم. فعند دخول جسيمين ذوي طاقتين مختلفتين بحيث تكون  $E_1 < E_2$  (شكل 9-4) ينتج عنهما تياران مختلفان، وبالتالي جهادان

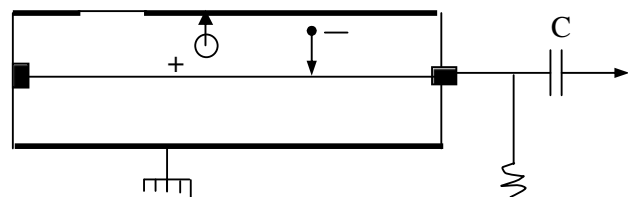
مختلفان، سواء في منطقة غرفة التأين أو في منطقة العداد التناصبي، مما يمكن من فصل هاتين الطاقتين. وفي نهاية منطقة العداد التناصبي يصبح من الصعب تمييز الطاقات المختلفة للجسيمات.

ويتمكن من حيث المبدأ أن تكون العدادات التناصبية مسحورة الأقطاب ولكنها تجهز على شكل أسطوانة (شكل 4-10) حيث يقوم السلك المحوري الرفيع بدور المجمع (الأنود). لذلك، فهو يوصل بالقطب الموجب لمنبع الجهد العالي. أما جسم الأسطوانة فيوصل بالأرض (أي بالقطب السالب لمنبع الجهد العالي)، وتتجمع عليه الأيونات الموجبة. وفي حالة وجود نافذة يمكن أن تكون هذه النافذة على الجدار الأسطواني للعداد أو في قاعه. أما السعة  $C$  فالغرض منها منع وصول الجهد المستمر من منبع الجهد إلى جهاز القياس.

وبالنسبة للعداد الأسطواني يمكن إيجاد شدة المجال الكهربائي  $E$  في آية نقطة بداخله تبعد مسافة  $r$  من محور الأسطوانة، وذلك باستخدام العلاقة المعروفة التالية:

$$E = V / r \ln(b/a) \quad (4-17)$$

حيث:  $V$  هي جهد المجمع (الأنود)،  $b$  هو نصف القطر الداخلي للأسطوانة،  $a$  هو نصف قطر السلك المحوري. فإذا كان جهد السلك 1000 فولت،  $b = 1\text{ سم}$ ،  $a = 0.01\text{ سم}$  تصل شدة المجال على مسافة 0.01 سم من السلك إلى حوالي 6000 فولت/سم. لذلك، نجد أن التأين الثانوي يحدث أساساً بالقرب من سلك الأنود. أما إذا تكونت الإلكترونات الابتدائية بعيداً عن المجمع فإنها تتحرك أولاً بفعل المجال في اتجاه المجمع ثم تبدأ مراحل التأين الثانوي عند اقترابها منه (في حدود 0.1 سم من مركزه).





شكل (4-10): العداد التناصبي

#### 4-5-1 شكل نبضات العداد التناصبي

##### Pulse shape of the proportional counter

تستخدم العدادات التناصبية، عموماً، في النظام النبضي وليس في نظام التيار المستمر. وتنتج النبضة في العداد التناصبي عن المركبة الأيونية أساساً وليس عن المركبة الإلكترونية للتيار. ويرجع السبب في ذلك إلى تكون سحابة أيونية (ناتجة عن التأين) بالقرب من المجمع (الأنود). فعند وصول الإلكترونات السريعة إلى الأنود تكون الأيونات الموجبة ما زالت بالقرب منه فتعادل بذلك أثر الإلكترونات على جهد الأنود. ويمكن تحديد قيمة الجهد الناتج عن المركبة الإلكترونية للتيار وذلك باستخدام العلاقة النظرية التالية:

$$V' / V_\infty = I' / a \ln(b/a) \quad (4-18)$$

حيث  $V'$  جهد النبضة الناتج عن المركبة الإلكترونية بعد مرور وقت كافٍ من بدئها،  $V_\infty$  هو الجهد الكلي للنبيضة،  $I'$  هو متوسط المسار الحر للإلكترونات. فعند استخدام عداد تناصبي بالأبعاد السابقة نفسها وعندما يكون الضغط داخل العداد مساوياً  $0.5$  ضغط جوي تكون  $1$  في حدود  $2.5 \times 10^{-3}$  سم. عندئذ تصبح:

$$V' / V_\infty = 0.05$$

أي أن الجهد الناتج عن المركبة الإلكترونية يشكل حوالي 5% من الجهد الكلي للنبيضة.

وحيث أن التأين الثانوي يحدث أساساً بالقرب من الأنود فإنه عندما يكون معامل التضاعف  $M$  كبيراً لا يعتمد جهد النبض على مكان مرور الجسيم النووي في العداد. ويمكن إيجاد كيفية تغير النبضة كدالة من الزمن طبقاً للعلاقة النظرية التالية:

$$V^+(t) = [M N_0 e / 2C_0 \ln(b/a)] \ln(1 + 2 \mu^+ V / p a^2 \ln(b/a)) \quad (4-19)$$

حيث  $N_0$  عدد الأزواج الابتدائية الناتجة عن الجسيم النووي نفسه،  $M$  معامل التضاعف للعداد،  $e$  شحنة الإلكترون،  $C_0$  سعته الداخلية،  $\mu^+$  حركية الأيونات ،  $p$  الضغط داخل العداد. لذلك، يزداد جهد النبضة أولاً بطريقة خطية مع الزمن، ثم يقل معدل الزيادة مع الزمن بحيث تصبح العلاقة لوغاريمية، إلى أن يصل الجهد إلى أقصى مقدار له وهو:

$$V_{\max}^+ = M N_0 e / C_0$$

عند زمن  $t$  مقداره:

$$t = (b^2 - a^2) P \ln(b/a) / 2 \mu^+ V \quad (4-20)$$

ويبيّن الشكل (4-11) كيفية تغير نبضة جهد الخرج كدالة من الزمن لعداد تناسبي بالأبعاد المذكورة سلفاً. عند ضغط مقداره 0.05 ضغط جوي وجهد أنودي  $V = 1500$  فولت. ويلاحظ أن معدل نمو جهد النبضة يكون سريعاً في البداية، ثم يقل هذا المعدل وتزداد النبضة ببطء إلى أن يصل جدها إلى أقصى قيمة له. ويمكن أن تستمر النبضة عند هذه القيمة لفترة طويلة (ربما تصل إلى حوالي 1 ميلي ثانية) وخلال هذا الزمن يكون العداد غير مستعد لاستقبال أي جسيم آخر أو تسجيله.

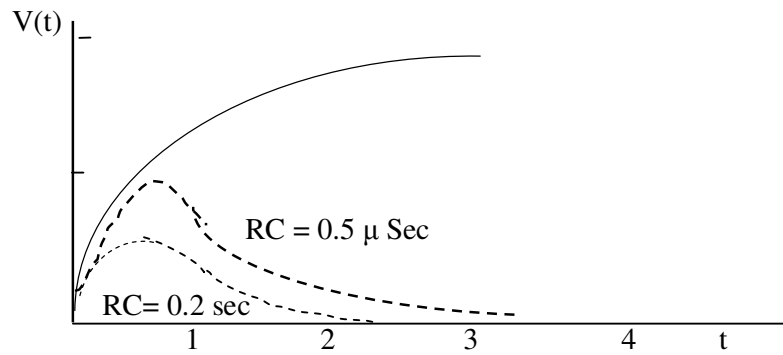
ويمكن خفض زمن استمرار النبضة بشكل ملحوظ وذلك بتشكيل النبضة باستخدام دارات التشكيل المختلفة. وتستخدم عادة لهذا الغرض الدارة التفاضلية (differentiation circuit) التي تتكون من مقاومة ومكثف عند مخرج العداد أو في مدخل المكبر. وتبيّن المنحنيات المتقطعة على الشكل (4-11) كيفية تشكيل النبضة باستخدام دارات تفاضلية ثابت زمني (RC) مختلف. ويلاحظ أنه كلما انخفض ثابت الزمن للدارة التفاضلية قل زمن استمرار النبضة وانخفض جدها في الوقت نفسه.

وتجرد الإشارة إن جهد النبضات الناتجة عن الجسيمات نفسها والطاقة نفسها في العداد التناسبي تتراوح ضمن حدود معينة  $\Delta V$ . ويؤدي هذا بدوره إلى تفاوت في تحديد طاقات الجسيمات مقداره  $\Delta E$ .

ويرجع السبب في ذلك لما سبق ذكره بالنسبة لغرفة التأين وكذلك لعدة أسباب أخرى أهمها ما يلي:

- حدوث اختلاف في عدد الإلكترونات الثانوية لخضوعها لقوانين الاحتمالات.
- عدم تجانس سلك المجمع حيث يمكن أن يختلف نصف قطره اختلافا طفيفا من مكان لأخر.
- اختلاف المجال في منتصف العداد عند أطرافه (في حالة عدم وجود حلقات حارسة).

لذلك، فإن القدرة التحليلية للطاقات للعداد التناصبي تكون أسوأ من مثيلتها بالنسبة لغرفة التأين. ويبلغ مقدار القدرة التحليلية للطاقة للعدادات التناصبية حوالي 10 - 30 %.



شكل (11-4)  
تشكيل النبضة باستخدام دارات نقاطية بثابت زمني (RC) مختلف

### زمن التأخير The delay time

يجب التنويع بحدوث تأخير زمني بين لحظة دخول الجسيم للعداد وخروج نبضة الجهد على المخرج. وهذا التأخير ناتج من زمن مرور الإلكترونات الأولية من مكان تكونها داخل العداد إلى أن تقترب من

المجمع. وبالتالي، يعتمد زمن التأخير (delay time) على مكان مرور الجسيم النووي ويمكن حساب أكبر مقدار له من نصف القطر الداخلي للاسطوانة والسرعة الانسياقية للإلكترونات كالتالي:

$$t_d = b / v^-$$

ومن أهم عيوب العدادات التناضجية اعتماد معامل التضاعف  $M$  على الجهد مما يؤدي إلى اختلاف جهد النبضة الخارجة عند حدوث تغير طفيف في جهد المنبع. لذلك، فإنه يجب استخدام منبع جهد عال ذي استقرارية عالية (highly stabilized).

#### 6-4 عدادات غاiger - ميولر Geiger - Muller counters

عند زيادة الجهد بينقطي العداد التناضجي إلى ما بعد منطقة التناضج (فيما بعد النقطة  $b$  شكل 4-9) يزداد معامل التضاعف  $M$  زيادة هائلة وبالتالي يزداد التيار زيادة طارئة (شكل 4-9). ويرجع السبب في ذلك إلى زيادة احتمال انطلاق الفوتونات فوق البنفسجية عند تصدام الإلكترونات بجزيئات الغاز وتكون الإلكترونات كهروضوئية (أي زيادة قيمة الاحتمال  $\gamma$ ). وعند هذه الجهود العالية تصبح هذه الفوتونات هي المسؤول الأساسي عن الإلكترونات الثانوية. وينتشر التأين الثانوي في جميع أنحاء العداد، وبالتالي يصل العداد إلى حالة التفريغ الكهربائي، وينتج عن ذلك تيار كبير للغاية دون النظر لعدد الإلكترونات الأولية. ويعرف العداد عند هذه الجهود باسم عداد غاiger - ميولر (ومهما مكتشفاه).

وبالرجوع إلى العلاقة (4-16) يلاحظ أن هذا الأمر يتحقق عندما تصبح قيمة  $\gamma n = 1$ . عندئذ يصبح معامل التضاعف  $M$  عبارة عن ما لانهائي، أي أن:

$$M = n / (1 - 1) = \infty$$

وفي هذه الحالة فإن جهد النبضة لم يعد يتوقف على عدد الإلكترونات الأولية الناتجة عن الجسيم النووي. إذ أنه يكفي تكون زوج إلكتروني - أيوني لبدء عملية التفريغ وظهور جهد النبضة. وبالتالي

يلاحظ أن جهد النبضة لم يعد يتوقف على طاقة الجسيم النووي المسبب لها. لذلك، لا يستخدم عداد غايغر - ميولر لتحديد طاقة الجسيمات النووية، وإنما فقط لتسجيل عدد هذه الجسيمات دون النظر لطاقتها.

وبمجرد بدء التأين والتفریغ الكهربائي لا يتوقف مرور التيار داخل العداد ذاتيا وإنما يستمر حتى في حالة عدم وصول جسيمات نووية جديدة. لذلك، فإنه يجب إيقاف عملية التفریغ داخل العداد ليكون جاهزا لاستقبال جسيم جديد وتسجيله. ويوجد نوعان من عدادات غايغر - ميولر يختلفان باختلاف طريقة إيقاف التفریغ وهما عدادات ذات إطفاء خارجي والأخر ذات إطفاء ذاتي.

#### 1-6-4 عدادات غايغر ذات الإطفاء الخارجي

##### Non - self quenching G.M counters

عندما يملأ العداد بغاز خامل (مثل الأرجون) تؤدي الفوتونات فوق البنفسجية إلى انطلاق الإلكترونات الكهروضوئية من المصعد (الكافود الذي تمثله الاسطوانة الخارجية) وليس من ذرات الأرجون. وتتحرك جميع الإلكترونات في اتجاه المجمع (شكل 4-10) الذي تتكون حوله سحابة أيونية كثيفة تتحرك بدورها في اتجاه المهبط. وعند تحرك هذه السحابة إلى المهبط يبدأ التيار في المرور ويؤدي إلى ظهور نبضة الجهد على المقاومة  $R_0$  ، وعند وصول هذه السحابة الأيونية إلى المهبط تنتج فوتونات فوق بنفسجية جديدة وإلكترونات ثانوية فيستمر التيار في المرور ولا يتوقف. وهكذا، يستمر مرور التيار طالما بقي الجهد  $V$  عاليا ولم يتم تخفيضه بأي وسيلة خارجية. ولتخفيض مقدار الجهد يمكن اختيار قيمة  $R_0$  كبيرة للغاية (في حدود  $10^8 - 10^9$  أوم). فعند تحرك السحابة الأيونية بعيدا عن المجمع ينخفض جهده بما يعادل الجهد المستهلك على المقاومة  $R_0$  . أي أن مقدار جهد المجمع (الأنوذ) عند تحرك السحابة الأيونية يصبح  $V_a = V - IR_0$  ، حيث  $I$  تيار السحابة الأيونية. فإذا كانت قيمة  $R_0$  كبيرة ينخفض جهد المجمع، بحيث يصبح أقل من الجهد اللازم لاستمرار التفریغ (أقل من  $V_b$  شكل 4-9). لذلك فإنه عند وصول السحابة الأيونية للمهبط يكون الجهد أقل من الحد اللازم لاستمرار التفریغ وبالتالي يطفأ العداد. فإذا كان زمن انتقال الأيونات

داخل العداد 200 ميكروثانية وسعة الداخلية في حدود  $10 \mu\text{F}$  يجب أن تكون قيمة  $R_0$  في حدود  $10 \times 4^8 \Omega$ . وبعد أن يطفأ العداد يكون جهد المجمع أقل من الجهد اللازم لتشغيله في منطقة غايغر، فيبدأ هذا الجهد في الزيادة من جديد إلى أن يصل إلى القيمة الأصلية  $V$  بعد زمن كبير بالمقارنة بثابت الزمن  $C_0$  (بعد حوالي  $10^{-3}$  ثانية). وخلال هذا الوقت الذي يستعيد فيه العداد جهده على المجمع يكون العداد غير مستعد لاستقبال جسيمات جديدة. ولو دخل جسيم إلى العداد خلال هذا الزمن فإنه يمكن أن يسجل ولكن تكون النبضة الناتجة ضعيفة للغاية بحيث لا يحس بها الجهاز الإلكتروني التالى. وتعرف هذه الفترة الزمنية باسم فترة الاسترجاع (recovery time). ويلاحظ أن أهم عيوب هذا النوع من العدادات هو كبر فترة الاسترجاع (حوالي  $10^{-3}$  ثانية).

#### 4-6-2 عدادات غايغر ذات الإطفاء الذاتي

##### Self – quenching G.M counters

يتميز هذا النوع من العدادات بعدم وجود مقاومة كبيرة لخفض جهد المجمع (الأنود) وإنما تستخدم مقاومة صغيرة. بذلك، يبقى الجهد ثابتاً على الأنود ولا ينخفض إلى ما دون حد جهد غايغر. وإحداث الإطفاء في هذا النوع من العدادات يملأ العداد بخليط من غاز الأرجون (حوالي 90%) وبخار مركب متعدد الذرات مثل الكحول أو الأسيتون (حوالي 10%). وعند دخول الجسيم التوسي يحدث التأين الابتدائي ثم تتبعه مجموعة التأينات الثانوية بالقرب من الأنود وتنطلق الفوتونات فوق البنفسجية التي تؤدي إلى انطلاق الإلكترونات الكهروضوئية بالأسلوب نفسه المتبعة في عدادات غايغر السابقة. ولكن يحدث اختلاف في هذه العدادات، يرجع أساساً إلى قابلية بخار الكحول أو الأسيتون العالية لامتصاص الفوتونات فوق البنفسجية. بذلك، تمتلك هذه الفوتونات في الغاز ولا تصل إلى المهبط. وبذلك تكون الإلكترونات الكهروضوئية صادر من جزيئات بخار الكحول وليس من ذرات الأرجون أو ذرات مادة المهبط (الكاಥود) الفلزية. ونظراً للقابلية العالية لامتصاص الفوتونات في جزيئات الكحول وتأينها فإن هذه الفوتونات لا تبتعد كثيراً عن الأنود وينحصر التفريغ الكهربائي بالقرب منه. وهكذا،

تحرك السحابة الأيونية في اتجاه المهبط مكونة بذلك النبضة الكهربائية التي لا تتأثر بالمركبة الإلكترونية. وت تكون الأيونات الموجبة التي تصل إلى المهبط كلها من أيونات جزيئات الكحول أو الأسيتون وذلك لامتصاص الفوتونات بواسطة هذه الجزيئات، وكذلك لأنه عند تحرك أيون أرجون موجب في اتجاه المهبط فإنه يكتسب إلكتروناً عند اصطدامه بجزيء الكحول المتعادل الذي بدوره يتحول إلى أيون موجب (لأن طاقة ارتباط الإلكترون بذرة الأرجون أعلى من طاقة ارتباط الإلكترون بجزيء الكحول). وعند وصول أيونات الكحول الموجبة إلى المهبط فإنها لا تؤدي إلى انبعاث إلكترونات ثانوية من مادة المهبط، وبالتالي يحدث الإطفاء ذاتياً. وهكذا، يمكن تلخيص دور جزيئات الغاز المتعددة الذرات مثل بخار الكحول أو الأسيتون في الآتي:

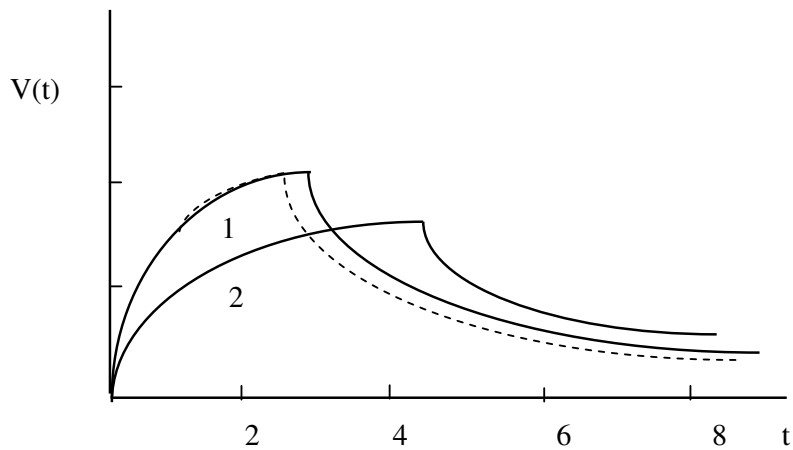
- 1 منع وصول الفوتونات إلى المهبط، وبالتالي منع انطلاق الإلكترونات الكهروضوئية منه.
- 2 منع وصول أيونات الأرجون الموجبة إلى المهبط، وبالتالي منع انبعاث إلكترونات الثانوية منه.

#### **4-6-3 شكل النبضة والزمن الميت وزمن الاسترجاع**

ت تكون نبضة التيار الناتجة على مخرج عداد غايغر ذي الإطفاء الذاتي من المركبة الأيونية فقط. وتحرك السحابة الأيونية في اتجاه المهبط مكونة شكلًا أسطوانيًا رفيعاً في آية لحظة. ويستعرض شكل (4-12) الشكل التجريبي للنبضة من العداد ذي الإطفاء الذاتي (الخط المتصل 1)، وكذلك الشكل النظري الناتج عن المركبة الأيونية. ويعتمد زمن امتداد النبضة على الأبعاد الهندسية للعداد. كما يعتمد شكلها على مكان حدوث الثنائي الابتدائي بالنسبة للمصدع (للأنود). فكلما بعد أثر الجسم النووي عن المصدع زاد الامتداد الزمني للنبضة وقلت القيمة القصوى للتيار الناتج عنها (الخط المتصل 2).

**الزمن الميت**  
The dead time

أثناء عملية التضاعف الإلكتروني وانتقال السحابة الأيونية من حول المصعد (الأئود) إلى المهبط (الكايثود) يكون العداد غير حساس لاستقبال جسيم نووي جديد، نظراً لأنخفاض شدة المجال الكهربائي بين القطبين في هذا الوقت. وبمجرد وصول السحابة الأيونية للمهبط فإنه يسترجع جهده بسرعة وتعود شدة المجال بين القطبين إلى قيمتها الأصلية. ويعرف الزمن بين لحظة دخول الجسيم النووي ووصول الجهد على المصعد إلى عتبة غايغر (النقطة b شكل 4-9) بالزمن الميت للعداد (The dead time). وخلال هذا الزمن يكون العداد غير حساس لتسجيل أي جسيم آخر.



شكل (4-12)

(1) الشكل التجريبي للنبضة من العداد ذي الإطفاء الذاتي.

(2) شكل النبضة عند ابعاد أثر الجسيم النووي عن المصعد

### زمن الاسترجاع      The recovery time

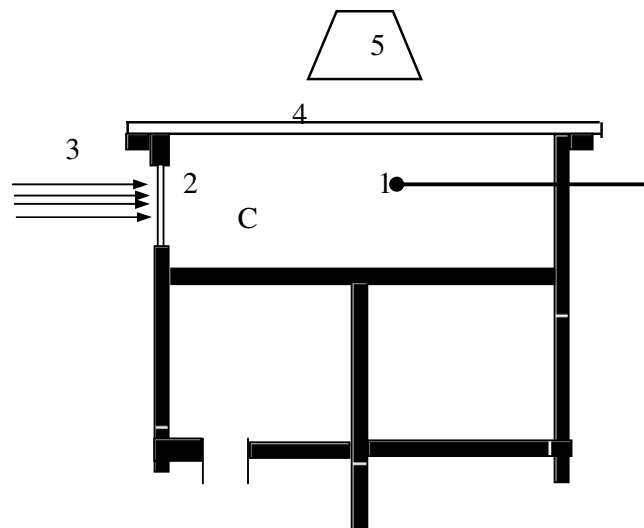
تعرف الفترة الزمنية بين وصول الجهد إلى عتبة غايغر ووصوله إلى القيمة القصوى بزمن الاسترجاع (the recovery time). وتعتبر هذه الفترة صغيرة بالنسبة للعدادات ذات الإطفاء الذاتي (حوالي

$5 \times 10^{-6}$  ) ثانية، وذلك بسبب صغر قيمة المقاومة  $R_0$ . وخلال زمن الاسترجاع يستطيع العداد تسجيل الجسيم النووي ولكن يكون تيار (أو جهد) النبضة أقل.

وعومما، تختلف عدادات غايغر باختلاف الغرض المخصصة لها. فتوجد منها أنواع ذات نوافذ وأخرى بدونها، وذلك تبعاً لنوع الجسيمات أو الإشعاعات المطلوب الكشف عنها. وهناك أنواع يستخدم فيها غاز ثالث فلوريد البور  $BF_3$  أو يعمل فيها نافذة من مادة البور وذلك لاستخدامها للكشف عن النيوترونات.

#### 7-4 الغرفة السحابية The cloud chamber

تعتبر الغرفة السحابية من أقدم الوسائل المستخدمة للكشف عن الجسيمات المشحونة بالرؤية المباشرة حيث استخدمها ويلسون لأول مرة عام 1912م. ويبين شكل (4-13) رسمياً توضيحاً للغرفة السحابية، حيث يملأ الفراغ الداخلي للغرفة بالهواء النقي تماماً من الغبار والمشبع ببخار الماء عند درجة حرارة الغرفة. وعند تحرك المكبس فجأة وبسرعة عالية إلى أسفل يحدث تمدد مفاجئ لخلط الهواء وبخار الماء مما يؤدي إلى الانخفاض المفاجئ في درجة حرارة الخليط ويصبح بخار



شكل (13-4): الغرفة السحابية

-1	مصدر مشع
-3	الضوء
-5	آلية تصوير
-7	فتحة خروج الهواء
-2	نافذة لدخول الضوء
-4	غطاء شفاف
-6	المكبس

الماء في حالة ما فوق التشبع. فإذا مرت في هذه اللحظة جسيمات مشحونة وأدت إلى تكوين أزواج إلكترونية-أيونية داخل الفراغ C يتكون بخار الماء فوق المتشبع على الأيونات، ويظهر أثر قطرات الماء المتكتفة على الأيونات بطول أثر الجسيمات المشحونة. ويمكن رؤية هذه القطرات، وبالتالي أثر الجسيم إما بالعين المجردة أو بالتصوير في هذه اللحظة، وذلك بإدخال ضوء من فتحة جانبية والتصوير خلال الغطاء الشفاف العلوي للغرفة. وبعد التصوير يعاد المكبس إلى وضعه الأصلي، ويتم توصيل جهد بالغرفة لسحب الأيونات من داخلها فتصبح الغرفة بذلك مستعدة لدوره قياسات أخرى. وعموماً، يتم تجهيز الغرفة بأدوات لسحب المكبس والتصوير وإعادة المكبس، بحيث تتم الدورة بأكملها وتصبح الغرفة جاهزة آلياً.

وتعريف نسبة فوق التشبع S هو:

$$S = P_f / P_i \quad (4-21)$$

حيث  $P_f$  ،  $P_i$  هو الضغط بعد وقبل التمدد على الترتيب. كذلك فإن نسبة التمدد E هي:

$$E = \tau_f / \tau_i \quad (4-22)$$

حيث  $\tau_f$  ،  $\tau_i$  هما حجم الغرفة بعد وقبل التمدد على الترتيب. وبالنسبة لخلط الهواء وبخار الماء يحدث التكتف على الأيونات السالبة فقط إذا

كانت قيمة E محصورة بين 1.25 ، 1.31 . ولكن يحدث التكثف على كل من الأيونات السالبة والمحببة إذا كانت قيمة E محصورة بين 1.31 ، 1.38 . أما إذا زادت E على 1.38 فيحدث التكثف في الفراغ كله دون النظر لوجود أيونات وتكون سحابة داخل التجويف بأكمله. لذلك، فإنه يفضل أن تكون قيمة E في حدود 1.35 بالنسبة لخلط الهواء وبخار الماء. أما بالنسبة لخلط الأرجون والكحول فإنه يمكن الحصول على أفضل صورة عندما تكون  $E = 1.10$  حيث يحدث التكثف على كل من الأيونات المحببة والسالبة.

ويمكن استخدام الغرفة السحابية في تحديد شحنة الجسيم وزخمه وبالتالي طاقته. فإذا تعرض الفراغ الداخلي للغرفة بعد التمدد مباشرة لمجال مغناطيسي كثافة تدفقه B ينحرف مسار الجسيمات المشحونة تحت تأثير هذا المجال، ويصبح المسار عبارة عن جزء من محيط دائرة نصف قطرها R . وتحكم هذا المسار العلاقة المعروفة التالية الخاصة بحركة الجسيمات المشحونة في المجال المغناطيسي .

$$m v = q BR \quad (4-23)$$

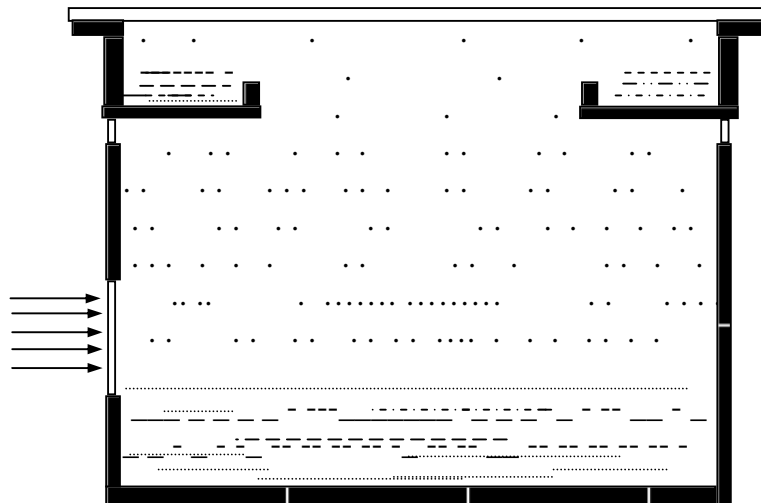
حيث m هي كتلة الجسيم النووي ، v هي سرعته و q شحنته. ويحدد اتجاه الانحراف نوع الشحنة (محببة أو سالبة). كذلك، فإنه يمكن تحديد طاقة الجسيم من طول الأثر.

ومن أهم عيوب الغرف السحابية هو قصر الزمن الحساس ( حوالي نصف ثانية). والزمن الحساس عبارة عن زمن استمرار قطرات المكثفة، حيث أن هذه قطرات تتبخ من جديد بسبب وصول الحرارة إليها من خارج الغرفة.

#### 8-4 غرف الانتشار The diffusion chamber

نظراً لصغر الزمن الحساس للغرفة السحابية فقد تم تطوير غرفة جديدة سنة 1936 م، تعرف بغرفة الانتشار (شكل 14-4). وتتكون الغرفة من إثنين أحدهما علوي والأخر سفلي. ويملا الإناء العلوي بسائل مثل الكحول الميثيلي (methyl alcohol) ، نظراً لأن بخاره قابل

للتكتف. وتكون درجة حرارة هذا الإناء هي درجة حرارة الغرفة. أما الإناء السفلي فيجب تبريده إلى حوالي  $(-60)$  ° م ، وذلك باستخدام خليط من الكحول الميثيلي وثاني أكسيد الكربون المتصلب (أي في حالة صلبة)، فيؤدي ذلك إلى تدرج درجة الحرارة بين الإناء السفلي والعلوي. وعند تبخر السائل الموجود بالإناء العلوي ينتشر هذا البخار إلى أسفل بسبب انخفاض درجة الحرارة عند القاع. لذلك يكون البخار في حالة ما فوق التسخين في المنطقة السفلية من الغرفة. وعند مرور جسيم مشحون في هذه المنطقة وتكون الأيونات يتكتف بخار عليها مكونا قطرات السائل، وبالتالي يمكن تصوير أثر الجسيم. ولإعداد الغرفة لدورة قياسات جديدة يجب سحب الأيونات من داخلها باستخدام مجال كهربائي. وتتميز هذه الغرفة عن سابقتها بذكر الوقت الحساس (حوالى 10 ثوان).



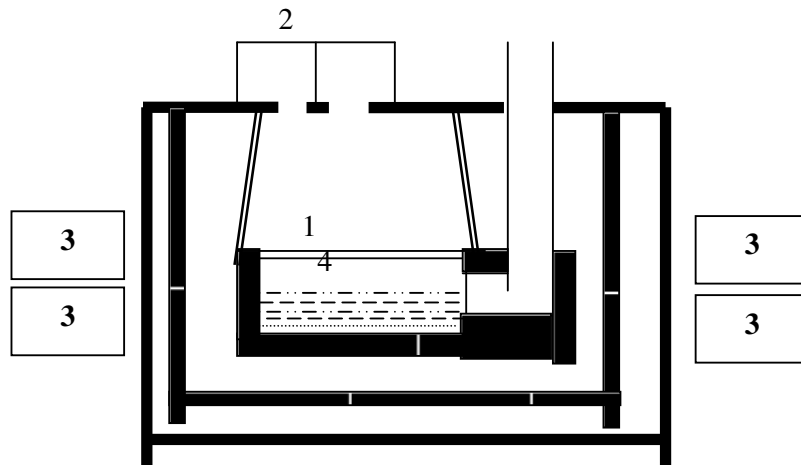
شكل (14-4)  
غرفة الانتشار

وستستخدم هذه الغرف، عموما، لتسجيل الجسيمات النووية المشحونة ذات الطاقات العالية. لذلك، يجب أن يكون ضغط الغاز

بداخلها كبيرة جداً، حيث يصل إلى حوالي 20 ضغطاً جوياً حتى تتوقف هذه الجسيمات ذات الطاقة العالية بداخلها.

## **9-4 الغرفة الفقاعية The bubble chamber**

تم تصميم أول غرفة فقاعية عام 1952. ويقوم عمل هذه الغرفة على استخدام ظاهرة تكوين الفقاعات عند تسخين السوائل تسخيناً فائقاً، ويبين شكل (4-15) رسمياً تخطيطياً لغرفة فقاعية. وتملاً الغرفة، عموماً، بسائل هيدروجين (أو هليوم أو زينون) عند درجة حرارة تتراوح بين  $-246^{\circ}\text{ م}$  للهيدروجين،  $-20^{\circ}\text{ م}$  لسائل الزينون. ويتم تسخين السائل إلى درجة حرارة أعلى من نقطة غليانه، ولكن يبقى السائل في الطور السائل (ولا يتحول إلى بخار)، عن طريق استخدام ضغط خارجي عال جداً (عدة عشرات من الضغط الجوي حسب نوع السائل). وعند خفض الضغط فجأة فإن السائل الفائق التسخين لا يبدأ في الغليان في الحال وإنما تمر فترة معينة دون حدوث الغليان. وعند مرور جسيم مشحون خلال هذه الفترة في الغرفة فإنه يؤدي إلى تأيير السائل، وتتمو فقاعات على هذه الأيونات في خلال زمن مقداره حوالي  $10^{-2}$  ثانية.



شكل (15-4) الغرفة الفقاعية	1- لوح شفاف
2- آلة تصوير	2- آلة تصوير
4- هيدروجين سائل	3- ملفات مغناطيسية

وهكذا، تتكون فقاعات على طول مسار الجسم المشحون ويتم تصوير هذه الفقاعات وسحب الأيونات بواسطة مجال كهربائي وزيادة الضغط من جديد قبل بدء غليان السائل. وتصبح الغرفة جاهزة لتسجيل جسيمات أخرى بعد عدة ثوانٍ قليلة. والزمن الحساس لهذه الغرفة هو عبارة عن الفترة من لحظة خفض الضغط الخارجي على الغرفة إلى لحظة بدء غليان السائل (ويجب ألا يحدث الغليان وذلك بزيادة الضغط إلى قيمته الأولية). ولزيادة الزمن الحساس يجب أن يكون جدار الغرفة الداخلي ناعما تماما وأن يكون السائل نقيا للغاية وإلا انخفض الزمن الحساس إلى حوالي  $10^{-3}$  ثانية.

وتحمي هذه الغرفة عن سابقتها بالآتي:

- أ- استخدام سوائل ذات كثافة عالية بدلا من الغازات، وبالتالي يمكن استخدامها لتسجيل الجسيمات النووية ذات الطاقات العالية (عدة آلاف ميغا إلكترون فولت).
- ب- قصر زمن إعدادها لدوره القياسات التالية (عدة ثوان).
- ج- إمكانية استخدام أبعاد كبيرة للسائل بحيث يقع مدى الجسم النووي بالكامل داخل السائل.

لذا فإنه يفضل استخدام غرفة الفقاعات عند إجراء الدراسات النووية في مجال الطاقات العالية.

#### 10-4 الكواشف الوميضية The scintillation detectors

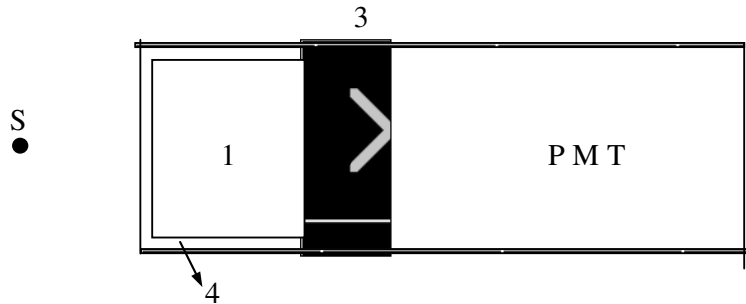
##### 1-10-4 مكونات الكاشف الوميسي

عند سقوط الجسيمات المشحونة أو الإشعاعات السينية أو إشعاعات جاما على مواد معينة مثل يوديد الصوديوم NaI أو يوديد السيزيوم CsI أو الأنثراسين، أو الاستيلين أو غيرها، ينتج عن ذلك وميض ضوئي. وتعرف هذه المواد باسم المواد الوميضية (scintillators) وقد استخدمت هذه الظاهرة الكشف عن الإشعاعات المؤينة بجميع أنواعها ولتحديد طاقاتها.

ويكون الكاشف الوميضي (شكل 4-16) من عدة أجزاء أساسية هي: المادة الوميضية وأنبوب توصيل الضوء (light pipe) والعاكس الضوئي (photomultiplier)، وأنبوب التضاعف الفوتوني (light reflector) (tube). فعند سقوط الإشعاعات أو الجسيمات النووية على المادة تصدر هذه المادة ومضة ضوئية. وتنتقل الوصلة الضوئية عبر أنبوب توصيل الضوء إلى المهبط (الكاثود) الضوئي (potocathode) لأنبوب التضاعف الفوتوني.

أما دور العاكس الضوئي فهو يقوم بعكس الضوء الواقع عليه وإعادته إلى المهبط الضوئي لأنبوب حتى لا يضيع جزء من الضوء الناتج عن الجسيم. وعند سقوط الضوء على المهبط الضوئي تنطلق منه إلكترونات تبعاً لظاهرة الانبعاث الكهروضوئي، ثم يتضاعف عدد الإلكترونات تضاعفاً فائقاً داخل أنبوب التضاعف الفوتوني. وتصل نبضة كهربية على مخرج الأنبوب. وهكذا، يمكن تلخيص عملية الكشف باستخدام الكواشف الوميضية في ستة مراحل مرتبة كالتالي:

- 1 امتصاص طاقة الجسيم النووي داخل المادة الوميضية مما يؤدي إلى إثارة أو تأين هذه المادة.
- 2 تحول الطاقة الممتصة في المادة إلى ضوء خلال العملية الوميضية.
- 3 انتقال الفوتونات الضوئية إلى المهبط الضوئي لأنبوب التضاعف.



شكل (4-16): الكاشف الوميسي

- |                   |                |                  |
|-------------------|----------------|------------------|
| أنبوب توصيل الضوء | العاكس الضوئي  | المادة الوميسيّة |
| ـ 2               | ـ 4            | ـ 3              |
| ـ S               | ـ المصدر المشع | ـ PMT            |

- 4 امتصاص المهبط لطاقة الفوتونات الضوئية وانبعاث الإلكترونات منه.
- 5 تصاعف عدد الإلكترونات داخل أنبوب التضاعف الفوتوني.
- 6 تجميع هذه الإلكترونات عند مصعد الأنبوب وتكون شحنة كهربائية كبيرة.

وترتبط الشحنة الكهربية  $Q$  المتجمعة على أنود الأنبوب بطاقة الجسيم الساقط  $E$  بالعلاقة التالية:

$$Q = eMn_{ph} = e MC T F S E \quad (4-24)$$

حيث  $e$  شحنة الإلكترون،  $M$  معامل التضاعف في الأنبوب،  $n_{ph}$  عدد الإلكترونات الصادر من المهبط الضوئي،  $C$  هي كفاءة المادة الوميسيّة (أي نسبة الفوتونات الضوئية التي تخرج منها إلى الفوتونات المترسبة)،  $F$  هي شفافية أنبوب التوصيل،  $S$  حساسية المهبط الضوئي (أي عدد الإلكترونات الصادرة منه لكل إلكترون فولت من طاقة الفوتونات الساقطة). وتعتبر جميع المعاملات ثابتة لكاشف الواحد عند الجهد

الواحد. لذلك، يتضح أن الشحنة الكهربية المترسبة على مخرج أنبوب التضاعف تتناسب طردياً مع طاقة الجسيم الساقط.

#### 2-10-4 أنواع المواد الوميضية Types of scintillators

يستخدم في الوقت الحالي عدد كبير من المواد الوميضية. وتختلف خصائص هذه المواد اختلافاً كبيراً. ويبين جدول (4-1) بعض أسماء المواد الوميضية شائعة الاستخدام وخصائصها.

ويجب أن تتوفر في المادة الوميضية الجيدة الخصائص التالية:

- 1 كفاءة عالية في تحويل طاقة الجسيم النووي إلى طاقة ضوئية.
- 2 شفافية تامة للمادة بالنسبة للإشعاعات الصادرة منها.
- 3 صغر زمن التفكك.

جدول (4-1): خصائص بعض المواد الوميضية

اسم المادة الوميضية	كتافتها (غم/سم <sup>3</sup> )	طول موجة الضوء المنبعث (انجستروم)	زمن التفكك بالثانية $\tau$
بلورات الأنثراسين (مادة عضوية)	1.25	4400	$^{8-}10 \times 2.7$
بلورات الاستيلين (مادة عضوية)	1.15	4100	$^{9-}10 \times 5-3$
Nal(Tl) يوديد صوديوم مزود بالتاليوم	3.67	4100	$^{7-}10 \times 2.5$
Zn S(Ag) كبريتيد خارصين مزود بالفضة	4.10	4500	$^{5-}10$

وبمجرد دخول الإشعاعات النووية إلى المادة الوميضية تثار المادة وتبدأ في إصدار الفوتونات الضوئية. ويتغير عدد الفوتونات كدالة من الزمن طبقاً للعلاقة التالية:

$$n = n_0 (1 - e^{-t})$$

حيث:  $n$  عدد الفوتونات الصادرة بعد زمن مقداره  $t$  من لحظة دخول الإشعاعات النووية،  $n_0$  العدد الكلي للفوتونات الصادرة. أما  $\tau$  فهو عبارة عن الزمن اللازم لإصدار  $(e^{-1})$  من الفوتونات أي 63 % منها. ويعرف هذا الزمن باسم زمن التفكك.

أما الخصائص الأخرى للمادة الوميضية كالكتافة والشكل والحجم وحالة المادة فتختلف باختلاف الغرض من الكاشف والجسيمات النووية وطاقاتها.

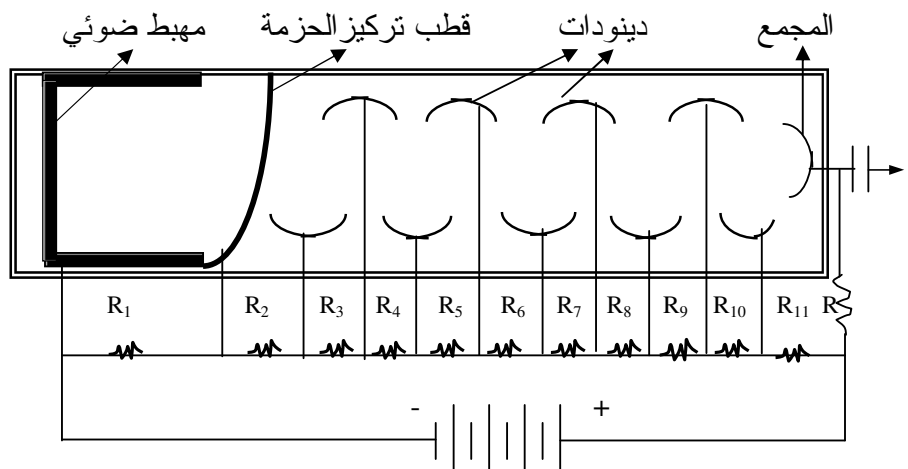
وتوضع المادة الوميضية عادة داخل حافظة محكمة القفل، وذلك لحمايتها من الصدمات ومنع وصول الضوء إليها ومنعها من التمدد بواسطة الرطوبة الجوية. وتغطى المادة الوميضية (من جميع الجوانب عدا الجانب المتصل بالأنبوب الضوئي) بطبقة رقيقة من أكسيد المغنيسيوم ( $MgO$ ) تعمل كعاكس للضوء. أما الجانب المتصل بالأنبوب الضوئي فيغطي بطبقة متGANة السمك من الزجاج النقي، وذلك لوصول الضوء إلى المهبط الضوئي. وعند استخدام المادة الوميضية للكشف عن الجسيمات المشحونة الثقيلة أو جسيمات بيتا يجب عمل نافذة في الحافظة من ورقه رقيقة من الألミニوم، وذلك لمنع وصول الضوء من الخارج، وفي الوقت نفسه للسماح بمرور هذه الجسيمات.

### 3-10-4 أنبوب التضاعف الفوتوني

#### The photomultiplier tubes (PMT)

أنبوب التضاعف الفوتوني عبارة عن أنبوب زجاجي مفرغ من الهواء تفريغاً جيداً ويحتوي على أربعة عناصر رئيسية هي المهبط (الكاثود) الضوئي، وقطب تركيز الحرزة الإلكترونية، ومجموعة أقطاب تعرف بالدينودات (dynodes)، والقطب المجمع (الأنود). ويبين شكل (4-17) رسمياً تخطيطياً لأنبوب التضاعف الفوتوني. ويقوم المهبط بإصدار الإلكترونات عندما يسقط الضوء المنبعث من المادة الوميضية (ظاهرة الانبعاث الكهروضوئي). لذلك، يصنع المهبط من مادة شبه شفافة مغطاة من الداخل بطبقة رقيقة من مادة كهروضوئية. وعند انطلاق الإلكترونات من المهبط يتم توجيهها وتركيزها بواسطة قطب

تركيز الحرمة الإلكترونية الذي يعمل كعدسة مجمعة بحيث تصل الإلكترونات الخارجة من المهبط إلى الدينود الأول. وتقوم الدينودات بمضاعفة عدد الإلكترونات. فعند سقوط إلكترون بطافة كبيرة (عده عشرات إلكترون فولت) فإن ذلك يؤدي إلى انبعاث ثانوي من الدينود. وبذلك، يتضاعف عدد الإلكترونات على الدينود الأول ويتجه هذا العدد المتضاعف إلى الدينود الثاني. فإذا كانت طاقة الإلكترونات عند وصولها للدينود الثاني كبيرة يحدث الانبعاث الثانوي عليه ويتضاعف عددها من جديد. وهكذا، تستمر عملية التضاعف على كل دينود. وفي النهاية يتم تجميع هذا العدد الهائل من الإلكترونات بعد التضاعف على المجمع (الأنود) فتظهر عليه نبضة كهربائية سالبة ( لأن شحنة الإلكترونات سالبة). ولكي تتحرك الإلكترونات الصادرة من المهبط الضوئي إلى الدينود الأول، فالثاني، فالثالث، ...، فالمجمع فإنه يجب أن يتزايد الجهد الموجب لهذه الأقطاب بالتتابع. ويتم تحقيق ذلك باستخدام منبع جهد عال  $V$  ومقسم لجهد مكون من عدة مقاومات (من  $R_1$  إلى  $R_{11}$  على الشكل) بحيث يكون جهد المجمع مساويا لقيمة  $V$  ثم يتناقص الجهد بالتدريج إلى أن يصبح مساويا للصفر على المهبط. (تجدر الإشارة إلى أنه يمكن



شكل (17-4): أنبوب التضاعف الفوتوني

تحقيق النتيجة نفسها إذا كان جهد المجمع مساوياً للصفر ثم يتلاقص الجهد حتى يصبح مساوياً (V-) على المهبط. أي أنه يتم تغذية المهبط بمنبع جهد سالب بدلاً من تغذية المجمع بمنبع جهد موجب).

وهكذا، ينتج تضاعف عدد الإلكترونات على الدينودات بسبب ظاهرة الانبعاث الثانوي. فإذا كان معامل الانبعاث الثانوي على الدينود الأول  $\delta_1$  وعلى الثاني  $\delta_2$  وعلى الأخير  $\delta_n$  يكون معامل التضاعف الكلي لأنبوب هو :

$$M = \delta_1 \cdot \delta_2 \cdot \dots \cdot \delta_n \quad (4-26)$$

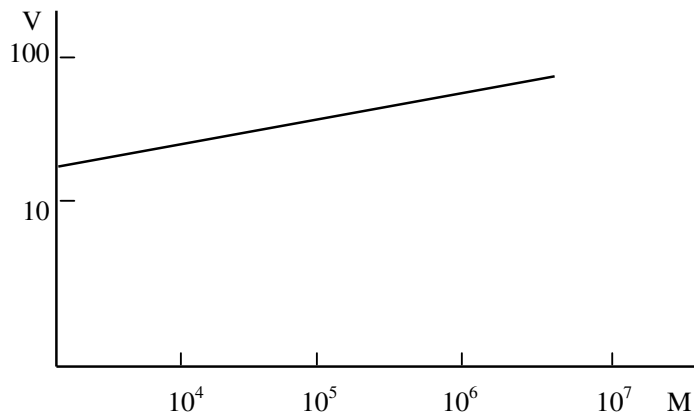
علماً بأن معامل الانبعاث الثانوي للدينود هو نسبة عدد الإلكترونات الصادرة منه إلى عدد الإلكترونات الساقطة عليه. فإذا كان عدد الدينودات في الأنابيب عشرة وكان معامل التضاعف المطلوب هو 10<sup>6</sup> فيجب أن يكون معامل الانبعاث الثانوي على كل دينود في حدود 3.95 أي أن :

$$\delta_1 = \delta_2 = \dots = \delta_n = 3.95$$

ويعتمد معامل الانبعاث الثانوي  $\delta$  كل دينود على طاقة الإلكترونات الساقطة عليه، حيث يزداد بزيادة الطاقة. ولما كانت الطاقة التي تكسبها الإلكترونات عند التحرك من دينود إلى آخر تتاسب طردياً مع فرق الجهد بين الدينودين، فإن معامل الانبعاث يتاسب وبالتالي طردياً مع فرق الجهد بين الدينودين. لذا فإن معامل التضاعف في أنابيب التضاعف الفوتوني يعتمد اعتماداً كبيراً على مقدار الجهد V . ويوضح شكل (4-18) كيفية تغير معامل التضاعف كدالة من فرق الجهد في العديد من أنابيب التضاعف. وعموماً، فإنه يمكن التعبير عن معامل التضاعف رياضياً بالعلاقة التالية عند ثبوت عدد الدينودات:

$$M = K E^I$$

حيث:  $K$  ثابت يعتمد على نوع الأنبوب،  $E$  شدة المجال الكهربائي بين كل دينودين،  $I$  عدد يساوي 5 تقريبا.



شكل (18-4)  
تغير معامل التضاعف كدالة من فرق الجهد في أنبوب التضاعف الفوتوني

وهكذا، يلاحظ أن أنبوب التضاعف الفوتوني يؤدي إلى تكبير النسبة الكهربائية الناتجة عن الجسيم النووي في حدود تتراوح بين حوالي  $10^3$  ،  $10^7$  مرة تبعاً لقيمة الجهد المستخدم لتغذية الأنبوب. وتعتبر هذه القيمة العالية لمعامل التكبير (التضاعف) من أهم مزايا الكواشف الوميضية بالمقارنة بالكواشف الغازية حيث يمكن الاستغناء عن المكبرات (المضخمات) الإلكترونية المستخدمة مع غرف التأين والعداد التناصبي أو استخدام مكبرات ذات معامل منخفض للتكبير.

#### 4-10-4 القدرة التحليلية للطاقة الزمن للكواشف الوميضية Energy and time resolution of the scintillation detectors

عند ثبوت الجهد في أنبوب التضاعف عند قيمة معينة تكون قيمة معامل التضاعف ثابتة. وعندئذ يجب أن يتاسب اتساع نبضة التيار (أي القيمة القصوى للتيار) مع طاقة الجسيم النووي تتاسب طردياً. ومع ذلك فإنه يلاحظ أن اتساع نبضة التيار الناتجة عن الأنوذ تختلف اختلافاً

طفيفاً للجسيمات نفسها ذات الطاقة الواحدة. ويرجع هذا الاختلاف الطفيف في القيمة القصوى للتيار وبالتالي في القيمة القصوى لجهد النبضة إلى الآتي:

- 1 اختلاف عدد الفوتونات التي تصل للمهبط الضوئي من المادة الوميضية بسبب امتصاص بعضها في المادة .
- 2 اختلاف التضاعف داخل الأنابيب اختلافاً طفيفاً وخاصة على الدينود الأول وذلك لأن معامل الانبعاث الثانوي يعتمد على زاوية سقوط الإلكترون على الدينود فضلاً عن أن عملية الانبعاث الثانوي تعتبر عملية إحصائية بحثة.

لذلك، فإنه عند الكشف عن جسيمات ذات طاقة واحدة  $E$  يحدث توزع في طاقتها مقداره  $r$  ، ويمكن إيجاد القدرة التحليلية  $r$  للكاشف الوميضي بالأسلوب نفسه المتبعة للكواشف الأخرى، وهي:

$$r = (\Delta E / E) \times 100 \%$$

وتتجدر الإشارة إلى أن زيادة القدرة التحليلية يعني انخفاض قيمة  $r$  . فمثلاً، إذا كانت  $\% = 0.25$   $r$  فيقال أن هذا الجهاز ذو قدرة تحليلية عالية، وأما إذا كانت  $\% = 2.5 = r$  فيقال أن الجهاز ذو قدرة تحليلية أقل. ويمكن زيادة القدرة التحليلية للكواشف الوميضية وذلك باستخدام مادة ومضية عالية الشفافية، وتوجيهه عناية خاصة إلى أنابيب توصيل الضوء، وعدم ترك أي فقاعات هوائية بين المادة الوميضية وأنابيب التوصيل الضوئي أو بين هذا الأنابيب وأنابيب التضاعف الفوتوني، حتى لا يتشتت الضوء على هذه الفقاعات، مما يؤدي إلى حدوث توزع كبير في عدد الفوتونات التي تصل للمهبط. كذلك، فإنه لتقليل التوزع الناتج عن أنابيب التضاعف الفوتوني، وبالتالي لرفع تركيز الإلكترونات وزيادة حساسية المهبط الضوئي وزيادة معامل التضاعف لكل دينود على حدة، وخاصة الدينود الأول، حيث يكون عدد الإلكترونات ما زال قليلاً وإمكانية التوزع كبيرة. لذلك، فإنه يفضل استخدام الجهدos العالية التي

تحقق معامل تضاعف كبير، بشرط ألا يتجاوز الجهد المطبق الحد الأقصى للجهد المسموح به على الأنابيب المعين لتلاشي حدوث شرارة كهربائية بين الدينودات، وبالتالي لتلاشي تلف الأنابيب كلها. كذلك، فإنه يفضل أن يكون فرق الجهد بين الدينود الأول وما قبله أعلى بعدة مرات من فرق الجهد بين أي دينودين تاليين.

وتتراوح القدرة التحليلية، عموماً، للكواشف الوميضية بين 2 %، 20 % وذلك تبعاً لحجم المادة الوميضية، حيث تتحفظ القدرة التحليلية للطاقة بزيادة حجم البلورة (المادة الوميضية).

أما القدرة التحليلية الزمنية (time resolution) فهي عبارة عن الفاصل الزمني بين جسيمين متتابعين بحيث يسجلان منفصلين عن بعضهما البعض زمنياً. وأهم العوامل التي تحدد القدرة التحليلية الزمنية للكواشف الوميضية هي زمن التفكك للمادة الوميضية وزمن التأخير الناتج عن انتقال الإلكترونات في أنبوب التضاعف الفوتوني. ويترافق هذا الزمن الأخير بين  $10^{-8}$  ،  $10^{-7}$  ثانية تبعاً لنوع وحجم الأنابيب والجهد المستخدم حيث يتاسب هذا الزمن عكسياً مع الجذر التربيعي للجهد المستخدم .

كذلك، تجدر الإشارة إلى أنه يحدث اختلاف في زمن الانتقال، وذلك بسبب مرور الإلكترونات في مسارات مختلفة عند انتقالها بين الدينودات، إلا أن هذا الاختلاف لا يتجاوز عادة  $7 \times 10^{-10}$  ثانية.

#### 5-10-4 استخدام الكواشف الوميضية

تستخدم الكواشف الوميضية للكشف عن جميع أنواع الإشعاعات المؤينة وتسجيلها بالأسلوب النبضي وتحديد طاقتها. ولهذا الغرض يستخدم كاشف وميopi مكون من مادة وميopi مناسبة لنوع المعين من الإشعاعات وأنابيب تضاعف فوتوني. ويوصل مخرج الأنابيب وهو المجمع (الأنود)، أو الدينود الأخير السابق مباشرة للمجمع بدارة إلكترونية تعرف باسم التابع الباعثي أو المكبر الأولى (preamplifier).

ويجب تجميع هذه الدارة على قاعدة الأنبوب مباشرة لمنع فقد نسبة من التيار عند سحبه لمسيفات بعيدة. كذلك، يتم تجميع دارة مقسم الجهد (potential - divider) ، اللازم لتوزيع الجهد على الدينودات المختلفة على هذه القاعدة نفسها. وتوخذ نبضات الجهد الخارجة من التابع الباعثي أو المكبر الأولى بعد عددها أو لتحليل طاقتها في أجهزة أخرى. ويتم تغذية أنبوب التضاعف بمنبع جهد عال ذي استقرارية عالية.

وندرج الإشارة إلى أنه يؤخذ أحياناً مخرجان من أنبوب التضاعف، الأول من المجمع (الأنود)، ويكون تياره سالباً نظراً لأنه ناتج عن وصول الإلكترونات السالبة للمجمع. ويؤخذ المخرج الآخر من أحد الدينودات الأخيرة ويكون تياره موجباً نظراً لأنه ناتج عن خروج عدد من الإلكترونات من هذا الدينود أكبر من العدد الذي يصله من الدينود السابق له. ويكون عادة جهد النبضة الموجبة من الدينود أصغر من جهد النبضة السالبة من المجمع.

#### **أ- استخدام الكواشف الوميضية للكشف عن جسيمات ألفا والجسيمات المشحونة الثقيلة**

للكشف عن جسيمات ألفا والجسيمات المشحونة الثقيلة الأخرى بواسطة الكواشف الوميضية يفضل استخدام بلورة ومية من كبريتيدخارصين المنشط بالفضة ( $ZnS(Ag)$ ) . وتنميز هذه البلورة بكفاءة عالية لتحويل طاقة جسيمات ألفا والجسيمات المشحونة الثقيلة الأخرى إلى طاقة ضوئية. ومن الجانب الآخر فإن أهم عيوب هذه البلورة هو ضعف شفافيتها. إلا أنه نظراً لصغر مدى الجسيمات المشحونة الثقيلة فإنه يستخدم سمك صغير من هذه المادة (حوالي 1 مم) مما يجعل ضعف الشفافية غير ذي أهمية. ويمكن ترسيب مادة كبريتيدخارصين مباشرة على زجاج أنبوب التضاعف الفوتوني، دون الحاجة لأنبوب توصيل الضوء.

#### **ب- استخدام الكواشف الوميضية للكشف عن إشعاعات جاما والإشعاعات السينية**

للكشف عن إشعاعات جاما أو الأشعة السينية باستخدام الكواشف الوميضية تستخدم، عموماً، بلورة يوديد الصوديوم المنشطة بالثاليوم  $\text{NaI}(\text{TI})$  كمادة وميضية. ويفضل استخدام هذا النوع من البلورات مع الأشعة السينية وإشعاعات جاما بسبب كفاعتها العالية نظراً لكبر كثافتها وكبر العدد الذري للثاليوم والليود. وتعتمد كفاءة الكاشف على كل من سمك البلورة وطاقة الإشعاعات. فعند الطاقة المعينة تزداد الكفاءة كلما زاد سمك البلورة. وأما بالنسبة للسمك المعين فتقل الكفاءة بالنسبة لكل من الأثر الكهروضوئي وأثر كومبتون بزيادة الطاقة وتزداد الكفاءة بالنسبة لإنتاج الأزواج كلما زادت الطاقة (راجع الفصل الثالث). وعموماً، فإن كفاءة الكواشف الوميضية بالنسبة لإشعاعات جاما تعتبر أعلى من كفاءة العدادات الغازية لهذا النوع من الإشعاعات بحوالي عدة عشرات أو حتى عدة مئات من المرات.

#### ج- استخدام الكواشف الوميضية للكشف عن جسيمات بيتا

على الرغم من أن جميع أنواع المواد الوميضية تعتبر حساسة بالنسبة لجسيمات بيتا بدرجات متفاوتة، إلا أنه يفضل دائماً استخدام المواد الوميضية العضوية للكشف عن هذه الجسيمات. ويرجع السبب في ذلك إلى الآتي:

-1 صعوبة استخدام بلورة يوديد الصوديوم المنشطة بالثاليوم  $\text{NaI}(\text{TI})$  للكشف عن الإلكترونات نظراً لضرورة عزل هذه البلورة عن الهواء الجوي بواسطة حافظة محكمة القفل حتى لا تتماسع، وبالتالي صعوبة عمل النافذة.

-2 يعتبر الوزن الذري الكبير لبلوره يوديد الصوديوم من أهم عيوبها بالنسبة للكشف عن جسيمات بيتا حيث ينتج عنه نسبة عالية من تشتت هذه الجسيمات للخلف (backscattering) في مادة البلورة.

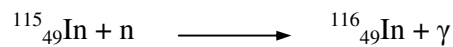
#### د- استخدام الكواشف الوميضية للكشف عن النيوترونات

يوجد في الوقت الحالي عدة مواد ومية للكشف عن النيوترونات. ويتم الكشف عنها خلال الجسيمات المشحونة الناتجة عن تفاعل النيوترونات مع المادة الومية. وبالنسبة للنيوترونات الحرارية تستخدم أي من مادتي الليثيوم Li أو البور B ، حيث تتفاعل النيوترونات الحرارية مع أي من هاتين المادتين مع انبعاث جسيمات ألفا بطاقة كبيرة. كما أن المقطع العرضي لهذه التفاعلات يعتبر كبيرا، مما يؤدي إلى زيادة كفاءة الكاشف.

لذلك، تستخدم عادة بلورة يوديد الليثيوم المنشطة بالثاليلوم LiI(Tl) للكشف عن النيوترونات الحرارية. وتتميز هذه البلورة بخواص مشابهة لخواص بلورة يوديد الصوديوم. وفي بعض الكواشف النيوترونية الأخرى تستخدم بلورة مكونة من خليط من مركبات الليثيوم أو البور مع كبريتيد الخارصين.

أما بالنسبة للنيوترونات السريعة فإنه يفضل الكشف عنها باستخدام البروتونات المرتدة عند تشتت هذه النيوترونات على الهيدروجين. ولهذا الغرض تجهز البلورة في شكل خليط من حبيبات كبريتيد الخارصين ZnS والشمع لاحتوائه على نسبة عالية من الهيدروجين. وتعتبر هذه البلورة من أنساب البلورات للكشف عن النيوترونات السريعة.

وتوجد عدة أنواع من كواشف النيوترونات السريعة التي تعتمد أساسا في عملها على التفاعل ( $\gamma, n$ ) . ويستخدم لهذا الغرض عدة مواد ذات مقاطع عرضية عالية لهذا النوع من التفاعل مثل الإنديوم والذهب حيث تحدث بينها وبين النيوترونات السريعة التفاعلات التالية:



وتعتبر المواد الناتجة عن التفاعل وهي الإنديوم  $^{116}\text{In}$  والذهب  $^{198}\text{Au}$  مصادر مشعة لجسيمات بيتا. وبقياس النشاط الإشعاعي لهذه المصادر يمكن الكشف عن النيوترونات السريعة وتحديد عددها.

## 11-4 الكواشف شبه الموصلة

### The semiconductor ( solid state ) detectors

حدث في السنوات الأخيرة تحول كبير من الكواشف الغازية والوميضية إلى الكواشف المجهزة من أشباه الموصلات خاصة في مجال البحث النووي عند الطاقات المنخفضة. ويرجع السبب في ذلك إلى المزايا العديدة التي تتمتع بها الكواشف شبه الموصلة التي سيرد ذكرها. وهناك تشابه كبير بين عمل الكواشف المجهزة من أشباه الموصلات وعمل غرفة التأين. ففي غرفة التأين تؤدي الإشعاعات جزيئات الغاز مكونة بذلك أزواجاً إلكترونية أيونية، يتم تجميعها والحصول وبالتالي على نبضة جهد كهربائية. أما في الكواشف المجهزة من أشباه الموصلات فتؤدي الإشعاعات ذرات المادة الصلبة شبه الموصلة مثل السيليكون أو الجermanيوم، مكونة بذلك أزواجاً إلكترونية - ثقبية، يمكن تجميعها والحصول عليها ، وبالتالي، منها على نبضة كهربائية. وتبلغ القيمة المتوسطة للطاقة اللازمة لتكوين زوج إلكتروني - ثقبى في مادة السيليكون أو الجermanيوم حوالي 3 إلكترون فولت، (في حين أن هذه القيمة حوالي 35 إف في الهواء). لذلك، فإن الشحنة المتكونة عن الجسيم النووي نفسه في السيليكون أو الجermanيوم تبلغ تقريباً عشرة أضعاف الشحنة المتكونة في الهواء مما يؤدي بدوره إلى قدرة تحليلية فإنه للكواشف المجهزة من أشباه الموصلات، وبالتالي إلى دقة تحديد طاقة الجسيمات النووية. ونظراً لأن مدى الجسيمات النووية في المواد الصلبة أقل بكثير منه في الغازات فإنه يمكن استخدام كواشف من مواد صلبة بأعمق صغيرة. ويؤدي هذا بدوره إلى صغر الزمن اللازم لتجمیع الشحنات الكهربائية، وبالتالي إلى قدرة تحليلية زمنية عالية بالنسبة لهذا النوع من الكواشف.

## 1-11-4 ثانوي الملتقى الثقبى الإلكتروني The P-N junction diode

تتميز ذرات المواد رباعية التكافؤ مثل السيليكون والجرمانيوم بوجود أربعة إلكترونات في المدار الخارجي. وعندما تكون مادة

السليلكون أو الجرمانيوم في حالة متبولةة تتنظم ذرات المادة في نظام هندسي بحيث ترتبط كل ذرة مع أربع ذرات مجاورة بواسطة إلكترونات التكافؤ الأربع. لذلك، فإنه عند درجة حرارة الصفر المطلق يكون كل إلكترون من إلكترونات التكافؤ الأربع مرتبطة في الوقت نفسه بذرتيين، هما الذرة الأم والذرة المجاورة. ولا توجد، بذلك، أية إلكترونات حرية في المادة. لذلك تكون المادة عازلة تماماً. ولتحرير أحد الإلكترونات الأربع المرتبطة بالذرتيين في البلورة يجب منحه طاقة تصل إلى حوالي  $0.72\text{ eV}$  في حالة الجرمانيوم وحوالي  $1.12\text{ eV}$  في حالة السليلكون. وعند وجود البلورة في درجة حرارة الغرفة أي  $25^\circ\text{C}$  (كيلوفين) تكتسب بعض الإلكترونات التكافؤ في المادة هذه القيمة المطلوبة من الطاقة، فتتحرر هذه الإلكترونات وتتصبح حرقة تاركة في مكانها ثقباً موجباً. وهكذا، يتكون زوج إلكتروني ثقب ي يؤدي إلى التوصيل الكهربائي للمادة. ولكن عدد الأزواج الإلكترونية الثقبية في المادة يكون قليلاً للغاية ولا يتجاوز زوجاً واحداً لكل  $10^{11}$  ذرة للجرمانيوم وزوجاً واحداً لكل  $10^{13}$  ذرة سليلكون. لذلك، تكون التوصيلة الكهربائية للمادة النقية شبه الموصلة صغير، أي أن مقاومتها تكون عالية. وتجدر الإشارة إلى أن مقاومة السليلكون تكون أعلى عادة بحوالي مائة مرة من مقاومة الجرمانيوم، عند درجة حرارة الغرفة نظراً لأن عدد الأزواج الإلكترونية الثقبية المتكونة في حالة السليلكون تكون أقل منها في حالة الجرمانيوم. وتسمى الأزواج الناتجة عن المادة النقية بـ **حاملات الشحنة الذاتية**.

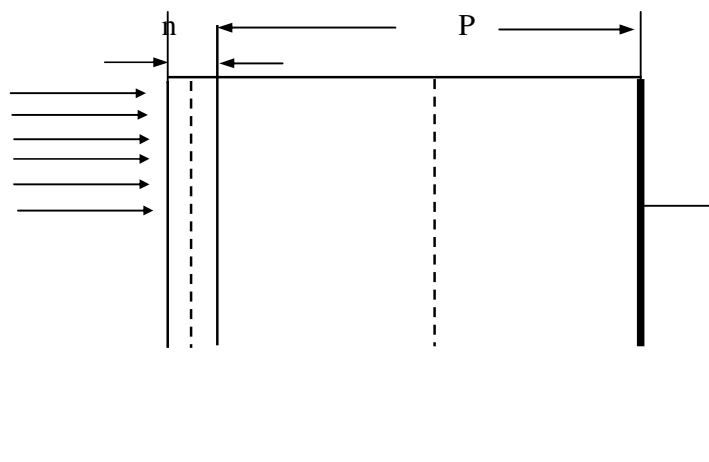
ولزيادة عدد الحاملات الحرية وبالتالي زيادة توصيلية البلورة يمكن إضافة نسبة صغيرة للغاية من شوائب خماسية التكافؤ إلى مادة السليلكون أو الجرمانيوم النقية. فعند إضافة نسبة من ذرات خماسية التكافؤ مثل الفسفور P (أو الزرنيخ As) إلى السليلكون (أو الجرمانيوم) الذي ترتبط ذرة الفسفور (أو الزرنيخ) في البلورة بأربعة إلكترونات مع أربع من ذرات السليلكون مكونة بذلك الروابط التساهمية الأربع المطلوبة، ويبقى الإلكترونون الخامس غير مرتبط مع أية ذرة فيصبح الإلكترونون حراً وبشكل في التوصيل الكهربائي. وتعرف الذرات خماسية التكافؤ في هذه الحالة بالذرات الواهبة (doner)، حيث أنها وهبت

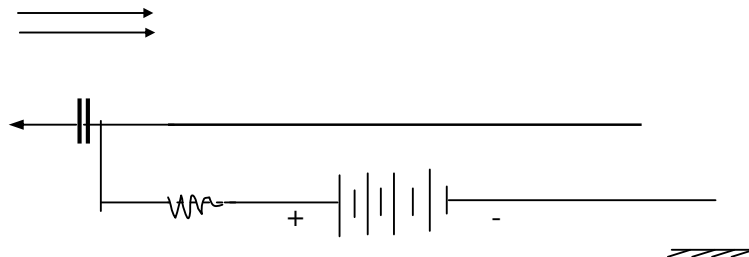
إلكترونا حرا للبلورة. وتسمى المادة شبه الموصلة في هذه الحالة بالمادة الإلكترونية (n-type-material) لأن الإلكترونات تكون هي الحاملات الغالبية للشحنة، أما التقوب فلا يوجد منها إلا الذاتية وتعرف عدده بالحاملات الأقلية.

كذلك، يمكن زيادة التوصيل الكهربائي للمادة وذلك بغرس شوائب من مواد ثلاثة التكافؤ كالبور B أو الجاليم Ga. فعند تكون البلورة ذات الشوائب ترتبط ذرة البور بالكتروناتها النكافوية الثلاثة مع ثلاث ذرات سليكون مجاورة مكونة بذلك ثلاث روابط تساهمية. ولتكوين الرابطة الرابعة تستأثر ذرة البور بأحد الإلكترونات من إحدى ذرات السليكون المجاورة. وبذلك، يتكون في ذرة السليكون المجاورة ثقب موجب الشحنة. وتسمى ذرات المادة الثلاثية التكافؤ في هذه الحالة بالذرات المتقبلة (acceptor) حيث أنها تستقبل الإلكترونا من كل ذرة مجاورة مكونة بذلك ثقب. وتعزف المادة شبه الموصلة في هذه الحالة بالمادة ثقيبة التوصيل (p-type material) حيث أن التقوب تمثل الحاملات الغالبية في هذه المادة، أما الإلكترونات فلا يوجد منها إلا الذاتية وهي بذلك تمثل الحاملات الأقلية.

وتضاف الشوائب عموما بنسب صغيرة جدا ( حوالي ذرة واحدة لكل مليون ذرة سليكون أو جرمانيوم نقى). وعند إضافة الشوائب الخمسية إلى جزء من المادة النقية والشوائب الثلاثية إلى الجزء الآخر من نفس القطعة من المادة النقية يتكون ما يعرف باسم ثنائى الوصلة أو ثنائى الملتقى (The P-N junction diode) كالمبين في شكل (4-19).

وعند الملتقى تنتقل الإلكترونات التوصيل الحرية من المادة الإلكترونية إلى المادة الثقيبة (بظاهر الانشمار) تاركة خلفها الأيونات الموجبة. كما تنتقل التقوب الموجبة (بالظاهر نفسها) من المنطقة الثقيبة إلى المنطقة





شكل (19-4)  
ثائي الوصلة ( الكواشف شبه الموصلة )

الإلكترونية، تاركة خلفها الأيونات السالبة. وبذلك، تتكون على جانبي الملتقي منطقة تعرف باسم منطقة الاستففاذ (The depletion layer) تكون خالية تماماً من الشحنات الكهربائية الحرة (سواء الإلكترونات أو التقوب). وتعتبر هذه المنطقة عازلة تماماً ويكون فيها مجال كهربائي شدته  $E$  ناتج عن الأيونات الموجب والسلبية غير القابلة للحركة لارتباط كل منها بأربعة روابط تساهمية مع أربعة ذرات مجاورة. وفي حالة عدم توصيل جهد كهربائي بطرف الثنائي يتراوح عرض منطقة الملتقي بين  $10^{-3}$ ،  $10^{-5}$  سم، وذلك تبعاً لنسب تركيز الشوائب. فكلما زاد تركيز الشوائب قل العرض والعكس صحيح. وعند توصيل جهد مباشر (أي القطب الموجب لمنبع الجهد بالمادة النقبية والقطب السالب بالمادة الإلكترونية) بين طرفي الثنائي يقل عرض هذه المنطقة ويصبح مساوياً للصفر عند حوالي 0.5 فولت، ويمر عندئذ، تيار كبير يعرف بالتيار المباشر. أما عند توصيل جهد عكسي بطرف الثنائي (أي عكس اتجاه القطبية) يزداد عرض هذه المنطقة. ويمر تيار صغير جداً يعرف بالتيار العكسي للثنائي. ولا يعتمد التيار العكسي على قيمة الجهد العكسي وإنما تكون قيمته ثابتة (طالما كان الجهد العكسي أعلى من حوالي 0.5 فولت)، وإنما يعتمد التيار العكسي على درجة الحرارة، حيث أنه ناتج عن الإلكترونات والتقوب الذاتية الناتجة عن المادة شبه الموصلة النقبية. لذلك، يكون التيار العكسي في حالة الجermanium أعلى بكثير منه في حالة السليكون. ويتم توصيل الجهد المباشر، كما ذكر، بتوصيل القطب

الموجب لمنع الجهد بالمادة التقبية والقطب السالب بالمادة الإلكترونية، أما الجهد العكسي، فهو كالما بين في شكل (4-19) حيث يوصل القطب الموجب بالمادة الإلكترونية والقطب السالب بالمادة التقبية.

#### 4-11-2 كواشف السليكون The silicon detectors

كاشف السليكون عبارة عن ثنائي ملتقى تقيبي إلكتروني. ويكون عرض المادة الإلكترونية أقل من 1 ميكرومتر حتى لا تفقد الإشعاعات الساقطة جزءاً كبيراً من طاقتها فيه. ونظراً لصغر عرض المادة الإلكترونية يجب أن يكون تركيز الشوائب الخماسية فيها عالياً. وأما المادة التقبية فيمكن أن تتمد لعمق يصل إلى عدة مليمترات. ويمكن إيجاد عرض منطقة الملتقى  $d$  عند تحيز الكاشف بجهد عكسي (أي توصيله بجهد عكسي) من العلاقة التالية:

$$d = d_n + d_p \quad (4-28)$$

حيث:

$$d_p = \epsilon (V)^{1/2} / 2 \pi e N_p , \quad d_n = \epsilon (V)^{1/2} / 2 \pi e N_n$$

وحيث:  $V$  هي جهد التحيز العكسي،  $\epsilon$  ثابت العزل للمادة،  $N_p$  هي كثافة الإلكترون أو التقب،  $N_n$  هي كثافة الإلكترونات في المنطقة الإلكترونية (أي عدد الإلكترونات الحرة لوحدة الحجم)،  $N_p$  هي كثافة التقوب في المنطقة التقبية.

وتعتبر منطقة الاستفادة هي المنطقة الحساسة للكاشف. ويتناسب عدد الأزواج الإلكترونية التقبية الناتج في هذه المنطقة عن الجسيم النووي الساقط تتناسب طردياً مع الطاقة التي يفقدها هذا الجسيم في هذه المنطقة. ويتم سحب هذه الأزواج وتجميعها تحت تأثير المجال الكهربائي لمنطقة الاستفادة، حيث تتجه الإلكترونات الناتجة إلى المنطقة الإلكترونية وتتجه التقوب إلى المنطقة التقبية، مما يؤدي إلى مرور نيار كهربائي وظهور نبضة كهربائية على مخرج الكاشف.

وفي حالة اجتياز الجسيم النووي لمنطقة الاستنفاد ودخوله إلى المنطقة التقبية فإنه يولد، كذلك، أزواجًا إلكترونية تقبية في هذه المنطقة. إلا أن هذه المنطقة لا تحتوي إلا على عدد قليل جداً من الإلكترونات الحرة وعدد كبير جدًا من الثقوب. لذلك، تتحرك الثقوب كعادتها في هذه المنطقة ولكن الإلكترونات المتولدة يمكن أن تعيدها مع العدد الكبير من الثقوب فيضيّع جزءًا كبيرًا من التيار. وبالتالي لا تتناسب الشحنة المجمعة مع الطاقة التي يفقدها الجسيم في هذه المنطقة. كذلك الأمر بالنسبة للمنطقة الإلكترونية. فعند مرور الجسيم النووي بها تولد الأزواج الإلكترونية التقبية. ولما كانت الثقوب في هذه المنطقة عبارة عن أقلية وإلكترونات هي الغالبية فإنه يمكن أن تعيدها مع المكونة اتحادها مع الإلكترونات، وبالتالي يفقد عدد كبير من هذه الثقوب ويضيّع جزءًا من التيار. لذلك، يجب أن يكون عرض المنطقة الإلكترونية صغيراً للغاية، وأن يكون عرض منطقة الاستنفاد كافياً بحيث يتوقف الجسيم النووي قبل الوصول إلى نهايتها، وذلك للمحافظة على التنساب بين طاقة الجسيم النووي وعدد الأزواج الإلكترونية التقبية المجمعة، أي بين طاقة الجسيم والنبضة الكهربائية الناتجة على مخرج الكاشف.

ويعتمد الزمن اللازم لتجميع الأزواج الإلكترونية التقبية على عدة عوامل، مثل عرض منطقة الاستنفاد وبالتالي على الجهد العكسي، وعلى كثافة الشوابئ. وتتحرك كل من الثقوب والإلكترونات تحت تأثير المجال الكهربائي لمنطقة الاستنفاد، وكذلك بفعل الحركة الحرارية العشوائية. فالسرعة الانسياقية تحت تأثير المجال  $E$  عبارة عن:

$$v = \mu \mu E$$

وهي تختلف لكل من الثقوب والإلكترونات لاختلاف الحركية  $\mu$  لكل منها. والسرعة الانسياقية لأي من الثقوب والإلكترونات  $v$  لا تتعدي  $10^7$  سم/ثانية مهما زاد الجهد. فإذا كان عرض منطقة الاستنفاد حوالي  $0.1$  سم فإن الزمن اللازم لتجميع الشحنة هو  $10^{-8}$  ثانية، وهذا هو الحد الأدنى لزمن تجميع الشحنة. وعموماً، يتوقف زمن نمو التيار من الصفر إلى أقصى قيمة له على عدة عوامل مثل السعة الداخلية للثباتي

(الكاشف) و مقاومته الداخلية . ويترافق هذا الزمن الأخير بين  $3 \times 10^{-9}$  ثانية للكاشف شبه الموصلة المختلفة.

ويستخدم هذا النوع من الكاشف المجهز أساساً من مادة السليكون للكشف عن الجسيمات المشحونة القليلة كالبروتونات وجسيمات ألفا . وعموماً ، لا تستخدم مادة герمانيوم في هذا النوع من الكاشف نظراً لأن مقدار التيار العكسي الناتج عن الحاملات الأقلية في герمانيوم كبير ويقترب من التيار الناتج عن الجسيم النووي . وعند استعمال герمانيوم في تجهيز مثل هذه الكاشف فإنه يجب خفض حرارته إلى حوالي 77° كلفن (أي حوالي 196 تحت الصفر المئوي) حتى لا يتكون عدد كبير من الحاملات الذاتية ، وبالتالي حتى يمكن إهمال قيمة التيار العكسي بالنسبة للتيار الناتج عن الجسيم النووي .

### 3-11-4 كواشف герمانيوم - ليثيوم

#### Germanium -lithium detectors

للكشف عن جسيمات بيتا وإشعاعات جاما فإنه يفضل استخدام مادة герمانيوم نظراً لكثافتها العالية وكبير عددها الذري . كذلك ، يجب أن يكون عرض المنطقة الحساسة (منطقة الاستفاد) كبير نسبياً (من 1-3مم) حتى تتوقف خلالها جسيمات بيتا أو الإلكترونات الناتجة عن الأثر الكهروضوئي لإشعاعات جاما . ولهذا الغرض يتم غرس ذرات الليثيوم في مادة герمانيوم ، وذلك لزيادة مقاومة المادة شبه الموصلة . فعند غرس ذرات الليثيوم في مادة герمانيوم من النوع التقطي يقل عدد التقوب الغالبية فيها ، وبذلك تصبح توصيليتها قريبة من توصيلية المادة النقية ، مما يؤدي بدوره إلى زيادة عرض منطقة الاستفاد حتى عند الجهود العكسية الصغيرة . ويتم غرس ذرات الليثيوم بطرق تكنولوجية مختلفة باستخدام جهود معينة ودرجات حرارة محددة لفترات زمنية طويلة (حوالي عشرة أيام متصلة لإعداد 2 سم من герمانيوم المغروس بالليثيوم) .

وتجر الإشارة إلى أن زيادة حجم المنطقة الحساسة (منطقة الاستفاد) تؤدي وبالتالي إلى زيادة التيار العكسي . وحيث أن هذا التيار

يعتمد أساساً على درجة حرارة المادة شبه الموصلة فإنه يجب خفض قيمتها، وذلك بتبريد كاشف الجermanيوم حتى درجات حرارة منخفضة ( حوالي 196°م ). بالإضافة إلى ذلك، فإنه عند ترك الجermanيوم المغروس بالليثيوم عند درجة حرارة الغرفة، فإنه حتى في حالة عدم توصيل الجهد العكسي إليه يمكن أن يحدث انسياق لذرات الليثيوم فتتحرك نحو السطح. وبالتالي، تفقد هذه الذرات من الجermanيوم بفعل حركتها الحرارية وينتفي الكاشف في الحال. وتعتبر هذه المشكلة في غيابه الخطورة بالنسبة للكاشف المجهزة من الجermanيوم عنها بالنسبة لتلك المجهزة من السليكون. ولهذا يجب المحافظة على الكاشف باستمرار تحت درجة حرارة منخفضة ( 196°م تحت الصفر ) أي تحت تأثير حرارة النيتروجين السائل. كذلك، فإنه من المفضل الإبقاء على الكاشف تحت تأثير جهد عكسي مع التبريد بشرط ألا يتغير هذا الجهد العكسي تغيراً مفاجئاً بالزيادة أو النقص.

#### 4-11-4      كواشف الجermanيوم عالية النقاء

The hyper pure germanium detector

بسبب سرعة تلف كواشف الجermanيوم ليثيوم بمجرد نفاذ النيتروجين السائل من وارتفاع درجة حرارته قرب درجة حرارة الغرفة وبعد أن تمكن العلماء من تحضير أحجام مختلفة من بلورات الجermanيوم عالية النقاء وبالتالي من زيادة مقاومة الجermanيوم المحيز عكسياً لخفض التيار العكسي، حلت كواشف الجermanيوم عالية النقاء محل كواشف الجermanيوم ليثيوم. ولم تعد درجة الحرارة المنخفضة ( أي درجة حرارة النيتروجين السائل ) مطلوبة إلا قبل توصيل جهد التحبيز العكسي للكاشف. أي قبل تشغيل الكاشف بعد عدد محدود من الساعات.

#### 4-11-5      أهم مزايا الكواشف شبه الموصلة

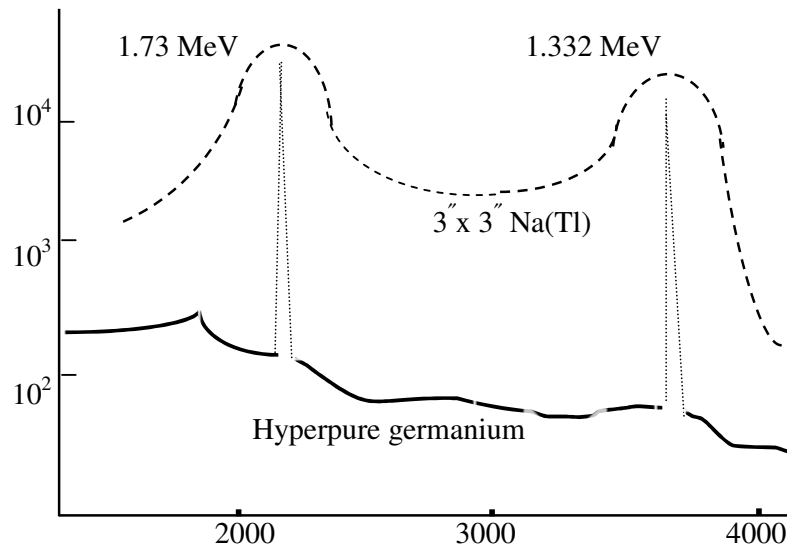
تتميز الكواشف المجهزة من أشباه الموصلات بالمقارنة بالكاشف الغازية والوميضية بعدة مزايا أهمها ما يلي :

- أ- قدرة تحليلية فائقة للطاقة حيث تصل القدرة التحليلية لكواشف الجرمانيوم ليثيوم إلى حوالي 1.7 ك.إ.ف بالنسبة لإشعارات جاما ذات الطاقة 1332 ك.إ.ف والصادرة من نظير الكوبالت 60 الذي يعتبر بمثابة معيار لهذه الخاصية. أما كواشف الجسيمات المشحونة الثقيلة والمجهزة من السليكون فتصل قدراتها التحليلية إلى حوالي 0.3 %. وهذا أفضل بكثير من القدرة التحليلية لغرفة التأين ( وهي أفضل الأجهزة الغازية من حيث قدرتها على فصل الطاقات المختلف ) ومن القدرة التحليلية للكواشف الوميضية. ويرجع السبب في ذلك إلى زيادة عدد الأزواج الإلكترونية الثقيبة بحوالى عشر مرات عن الأزواج الإلكترونية الأيونية الناتجة في غرفة التأين مما يؤدي إلى نقص التراوح الإحصائي النسبي في عدد الأزواج. كذلك، فإنه نتيجة لصغر حجم المنطقة الحساسة للكاشف شبه الموصل فإن التراوح الناتج عن احتمال فقد بعض الأزواج ينخفض انخفاضا ملمسا.
- ب- وجود علاقة خطية بين طاقة الجسيم النووي واتساع النسبة الكهربائية ( أي أقصى ارتفاع لها ) الناتجة عنه، وذلك ضمن مدى عريض من الطاقات طالما كان عرض المنطقة الحساسة كافيا.
- ج- قصر زمن النسبة الكهربائية الناتجة عن الجسيم بسبب صغر حجم المنطقة الحساسة. ويؤدي ذلك إلى إمكانية عدم تحليل معدل عال للجسيمات يصل إلى حوالي  $10^6$  جسيم/ثانية.
- د- إمكانية تغيير عرض المنطقة الحساسة وذلك بتغيير الجهد العكسي.
- هـ إمكانية فصل الأنواع المختلفة من الجسيمات المشحونة الثقيلة عن بعضها. عندما تحتوي الجسيمات الساقطة على البروتونات وجسيمات ألفا مثلا، يمكن اختيار جهد عكسي صغير ( في حدود عدد فولتات )، بحيث لا يزيد عرض المنطقة الحساسة عن مدى جسيمات ألفا. ولكن

البروتونات تمر من هذا العرض دون أن تفقد جزءاً ملماساً من طاقتها، فيتم بذلك تسجيل جسيمات ألفا دون البروتونات.

- صغر حجم الكاشف وسهولة التعامل به.
- عدم الحساسية بالنسبة لتغير المجال المغناطيسي.
- إمكانية إعداد الكاشف على أشكال هندسية مختلفة كالكاوش ذات النقب المحوري (annular detectors)، وذلك لإجراء القياسات عند الزوايا القريبة من  $180^\circ$ .

ويمكن المقارنة بين القدرة التحليلية للكاوش المجهزة من أشباه الموصلات والكاوش الوميضية بالنظر إلى شكل (20-4) حيث يظهر طيف إشعاعات جاما الصادرة من نظير الكوبالت 60 (والذي يشع إشعاعات جاما ببطاقتين هما 1173 ك.إ.ف ، 1332 ك.إ.ف ) باستخدام كاشف جرمانيومي وآخر وميضي. ويتبين من هذا الشكل القدرة



شكل (20-4)  
المقارنة بين القدرة التحليلية لكاوش

## يوديد الصوديوم Na(Tl) وكواشف الجermanium

التحليلية العالية للكواشف المجهزة من أشباه الموصلات بالمقارنة بالكواشف الوميضية.

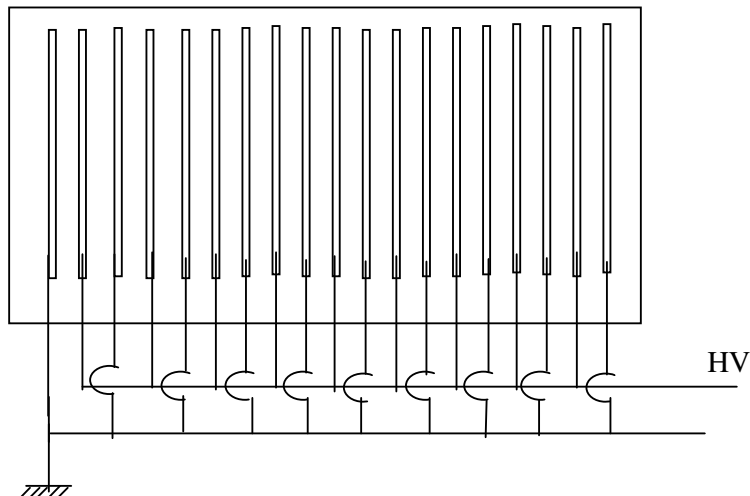
ومن جهة أخرى توجد للكواشف المجهزة من أشباه الموصلات بعض العيوب الأساسية. وتتلخص هذه العيوب في الآتي:

- أ- عدم القدرة على استخدامها للكشف عن الجسيمات ذات المدى الطويل أي عند الطاقات العالية.
- ب- قصر عمر الكاشف نسبياً بسبب حدوث تغيرات في تركيب المادة وخاصة عند السطح، وكذلك لحدث تلف إشعاعي لها (radiation damage) نتيجة تعرضها لإشعاعات كثيفة، خاصة النيوترونات.
- ج- ضرورة التبريد وعدم إمكانية التشغيل عند درجات الحرارة المرتفعة.
- د- زيادة زمن النبضة بالنسبة للكواشف ذات الأحجام الكبيرة.

## 12-4 العداد الشراري The spark counter

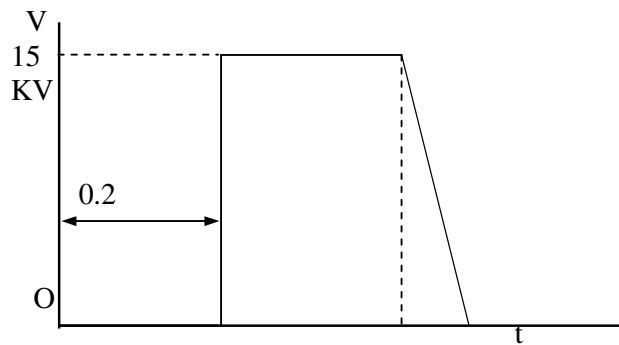
يتكون العداد الشراري (شكل 12-4) من غرفة مملوءة بغاز خامل مثل النيون تحت ضغط قريب من الضغط الجوي. ويوضع في الغرفة عدة ألواح فلزية رقيقة متتابعة. وتتراوح المسافة بين كل لوحين ما بين 2-20مم. ويزداد عدد الألواح أو يقل حسب الغرض المخصص له العداد. وفي بعض العدادات المستخدمة عند الطاقات العالية يصل عدد هذه الألواح إلى أكثر من 130 لوها. وتوصى الألواح بالتتابع بقطبي منبع جهد عال متعدد يصل جهده إلى حوالي 10-15 كيلو فولت. وعند مرور أي جسيم مشحون بين الألواح فإنه يؤيin ذرات النيون على طول مساره. عندئذ، تصل نبضة الجهد العالي (10-15 ك.ف) للألوان. ونظراً لوجود فرق جهد عال بين كل لوحين متجاورين ووجود الإلكترونات الناتجة عن التأثير بين الألواح تحدث شرارة كهربائية بين كل لوحين.

وعومما، يجب إدخال نبضة الجهد العالي إلى الألواح بعد دخول الجسيم بفترة زمنية تصل إلى حوالي 0.2 ميكروثانية وتستمر هذه النبضة إلى أن تحدث الشرارة الكهربائية. ويبين شكل (22-4) توقيت دخول نبضة الجهد العالي بالنسبة لزمن دخول الجسيم الذي يعتبر  $t = 0$ .

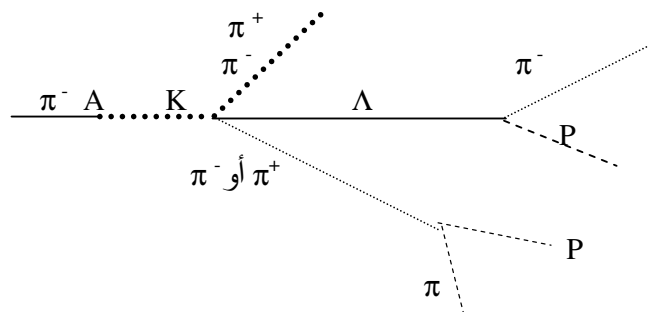


شكل (21-4)  
العداد الشراري

وهكذا، تحدث شرارة كهربائية مرئية على طول مسار الجسيم المشحون. وفي حالة حدوث تفاعلات نووية أخرى وخروج جسيمات مشحونة نتيجة لتصادم الجسيم النووي الساقط مع النوى الموجودة داخل الغرفة تظهر كذلك آثار هذه الجسيمات الجديدة في شكل شرارات كهربائية موضحة بذلك مساراتها. ويبين شكل (23-4) مسار باي - ميزون ( $\pi$ ) والتفاعلات الناتجة عند مروره داخل العداد وتفاعلاته منتجًا عدّة جسيمات نووية.



شكل (22-4)  
توقيت دخول نبضة الجهد العالي بالنسبة لزمن دخول الجسم ( $t = 0$ )



شكل (23-4)  
مسار باي - ميزون والتفاعلات الناتجة عند مروره داخل العداد

ويمكن استخدام العداد الشراري في تحديد زخم الجسيم النووي الساقط، وذلك بوضع العداد داخل مجال مغناطيسي ثابت ومتجانس وتحديد الانحناء في المسار بدقة. ويتمتع العداد الشراري بقدرة تحليلية زمنية متساوية لقدرة العدادات الغازية. ويفضل هذا العداد عند الطاقات العالية على الغرفة الفقاعية، وذلك لأنّه يمكن اختيار زمن دخول النبضة وتصوير الأثر بعد دخول الجسم وخلال مدة زمنية معينة. كذلك، فإنه

يمكن سحب الأيونات من الغرفة باستخدام مجال كهربائي خلال مدة لا تزيد على 2 ميكرو ثانية من التصوير.

### 13-4 كواشف تشنوكوف Cerencov detectors

لاحظ تشيرنوكوف أنه عند مرور جسيمات مشحونة في مادة عازلة بسرعة أعلى من السرعة الطورية للضوء في هذه المادة، فإنه ينتج عن ذلك انباعات كهرومغناطيسية ضعيفة، يكون ترددتها في حدود الضوء المرئي. وتختلف هذه الإشعاعات (المعروفبة باسم إشعاعات تشنوكوف) في طبيعتها عن إشعاعات الانكماح، حيث أنها لا تعتمد على العدد الذري للمادة ولا على سرعة الجسيم الساقط.

ويمكن فهم طبيعة إشعاعات تشنوكوف كالتالي:

عند مرور جسيمات مشحونة بسرعات عالية فإنه تصاحبها نبضة كهرومغناطيسية (مجال كهرومغناطيسي متغير زمنياً). وترتدي هذه النبضة إلى استقطاب ذرات المادة عن طريق إزاحة الإلكترونات المرتبطة بالذرات على طول مسار الجسيم الساقط. حيث أن هذا الاستقطاب يتغير زمنياً بسبب تغير المجال الكهرومغناطيسى فإنه ينتج عن ذلك إصدار الذرة لإشعاعات في شكل موجات كهرومغناطيسية. فإذا كان الجسيم متراكماً بسرعة صغيرة فإن الإشعاعات الصادرة عن الذرات تتداخل تداخلاً هاماً (destructive interference) عند نقطة بعيدة فتكون شدة الضوء عند هذه النقطة مساوية للصفر. أما إذا كان الجسيم متراكماً بسرعة  $v$  أعلى من السرعة الطورية (phase velocity) للضوء في هذه المادة، فإنه يمكن أن يكون التداخل عند هذه النقطة البعيدة تداخلاً بناءً (constructive interference)، وبذلك تختلف شدة الضوء عند هذه النقطة عن الصفر. ويمكن إيجاد شروط التداخل البناء من شكل هوينج (Huygen's construction) (شكل 24-4). خلال فترة زمنية مقدارها  $\Delta t$  ينتقل الجسيم مسافة مقدارها:

$$AB = v \Delta t = (v / C) C \Delta t = \beta C \Delta t$$

حيث:  $C$  هي سرعة الضوء في الفراغ،  $\beta$  هي:

$$\beta = v / C$$

وخلال هذه الفترة نفسها ينتقل الشعاع الخارج من المادة من النقطة A إلى النقطة D مسافة مقدارها:

$$AD = (C / n) \Delta t$$

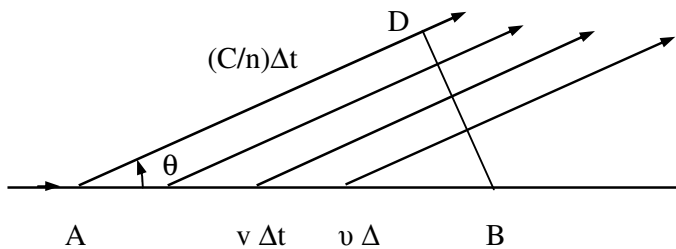
حيث:  $n$  معامل انكسار الضوء للمادة. ومن الشكل (4-4) يتبيّن أن:

$$\cos \theta = AD / AB = 1 / \beta n \quad (4-29)$$

وتحدد هذه العلاقة الحد الأدنى لقيمة  $\beta$  التي ينتج عنها صدور إشعاعات تشنكوف، حيث نجد أنه بالنسبة للمادة المعينة يجب ألا يقل مقدار  $\beta$  عن:

$$\beta_{\min} = 1 / n \quad (4-30)$$

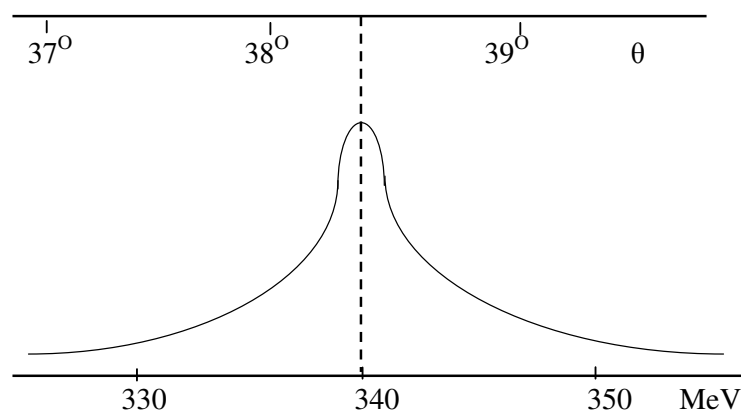
فإذا كانت  $\beta$  أقل من هذا المقدار لا تصدر إشعاعات تشنكوف عن المادة. وإذا كان معامل الانكسار لمادة ما  $n = 1.5$  ، ومقدار  $\beta = 1$  يلاحظ أن:  $\theta_{\max} = 48^\circ$ . أي أن الطاقة التي يفقدها الجسيم تخرج في صورة إشعاع مخروطي زاوية رأسه هي:  $2 \times 48^\circ = 96^\circ$  ، ومحوره



شكل (24-4): شكل هو يجيـن

هو اتجاه مرور الجسيم. ويمكن الكشف عن الضوء الصادر باستخدام أنبوب التضاعف الفوتوني.

وقد استخدم أثر تشنكوف لعمل كواشف، بغرض تحديد طاقة الإشعاعات، وذلك بقياس الزاوية القصوى للإشعاعات الصادرة. ويبين شكل (25-5) طيف البروتونات بطاقة 340 ميغا إلكترون فولت، عند الكشف عنها باستخدام عداد تشنكوف.



شكل (25-4)  
طيف البروتونات بطاقة 340 ميغا إلكترون فولت  
عند الكشف عنها باستخدام عداد تشنكوف

#### 14-4 ألواح وأفلام التصوير المستحلبة

##### Photo- emulsion plates and films

عند مرور الإشعاعات المؤينة كالجسيمات المشحونة الثقيلة والخفيفة والأشعة السينية وإشعاعات جاما خلال ألواح أو أفلام التصوير المستحلبة فإنها تؤين المادة المستحلبة، وتؤدي وبالتالي إلى إحداث عتمة في الفيلم أو اللوح الحساس، مثلاً يؤثر الضوء المرئي تماماً. ويكون الفيلم الحساس، عموماً، من طبقة جيلاتينية رقيقة من مادة بروميد الفضة (Silver bromide) ملتصقة على فيلم بلاستيك شفاف. وفي حالة الألواح الحساسة تستخدم ألواح من الزجاج الشفاف بدلاً من البلاستيك. وعند مرور الضوء أو الإشعاعات المؤينة في هذه الطبقة الحساسة تمت ص

طاقة هذه الإشعاعات (أو جزء من طاقتها) في مادة بروميد الفضة، فينتج عن ذلك تكون حبيبات صغيرة (تحتوي الحبية عادة على عدة ذرات ) من فاز الفضة. وعند معالجة الفيلم بالأحماس الخاصة بالإظهار والتنشيط يزداد عدد ذرات الفضة الفلزية في كل حبية، فيكبر حجمها وتظهر في شكل حبيبات سوداء على الفيلم البلاستيك أو اللوح الزجاجي. وتعتبر عملية المعالجة بمثابة عملية إظهار وتكبير لحجم الحبيبات، حيث يمكن أن يزداد حجمها بواقع  $10^8$  مرة. وتتضمن معالجة الفيلم إظهاره ثم تنشيطه في حمام يحتوي على مادة الهيبو (hypo)، لإزالة مادة بروميد الفضة التي لم تتأثر بالإشعاعات أو الضوء.

واللحصول على نتائج طيبة وعلى صورة واضحة يجب اختيار مواد المعالجة بترانزيز مناسبة، وتحديد أنساب درجات الحرارة لهذه العمليات، وتحديد الزمن المناسب لعمليتي الإظهار والتنشيط.

وهكذا يظهر أثر مرور الجسيمات المشحونة والإشعاعات في شكل حبيبات سوداء على الفيلم أو اللوح الحساس. وقد لا يمكن رؤية الحبيبات بالعين المجردة ولكن يمكن رؤيتها بسهولة تحت الميكروскоп.

ومع تطور أنواع الكواشف النووية الأخرى قل استخدام الأفلام والألواح الحساسة للكشف عن الإشعاعات ذات الطاقات المنخفضة، إلا أن هذه الكواشف ظلت مستخدمة استخداماً واسعاً في مجال الطاقات العالية والأشعة الكونية. ولهذه الأغراض تستخدم الألواح حساسة يتراوح سمك الطبقة الحساسة فيها بين 20 ، 800 ميكرون. ويمكن استخدام هذه الألواح لتحديد عدد الجسيمات (كثافة الإشعاعات) ونوعها وطاقتها. فعند تحديد كثافة الحبيبات وطول الأثر على اللوح وبمعرفة العلاقة بين المدى والطاقة (راجع الفصل الثالث) يمكن معرفة نوع الإشعاعات وطاقاتها.

وعند استخدام الأفلام أو الألواح الحساسة للكشف عن الجسيمات التي لا تؤدي للتأين المباشر، مثل الأشعة السينية وإشعاعات جاما والنيوترونات، فإنه يوضع في المادة الحساسة مواد ينتج عنها جسيمات مشحونة عند تفاعل الأشعة الساقطة معها. فعلى سبيل المثال، يمكن الكشف عن النيوترونات البطيئة بوضع نسبة تصل إلى حوالي 1 % من

مادة الليثيوم أو البور في المادة الحساسة. وعند الكشف عن الأشعة السينية أو إشعاعات جاما يتم وضع شريحة رقيقة جداً من الرصاص فوق المادة الحساسة لإحداث أي من العمليات الثلاثة عليها.

وتتميز الألواح والأفلام الحساسة عن بعض الكوAshف الأخرى بالآتي:

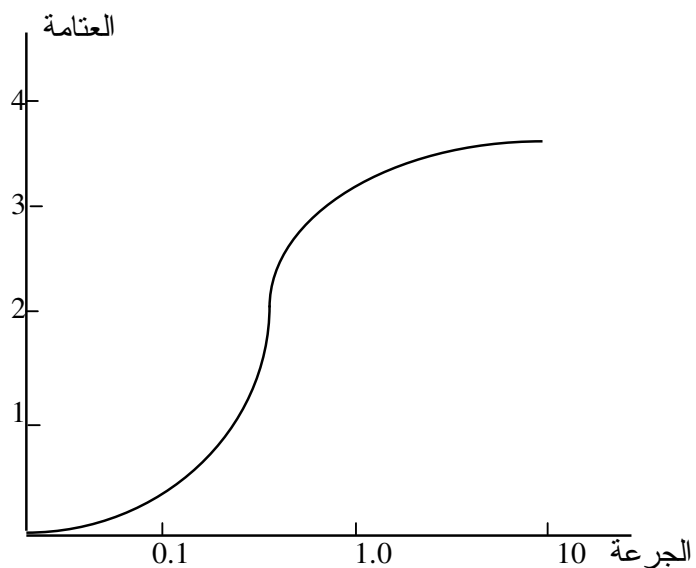
- أ- سهولتها وحساسيتها وبقاء الأثر بصفة دائمة عليها.
- ب- خفة الوزن وصغر الحجم وانخفاض تكلفتها.
- ج- الكثافة العالية لمادة المستحلب الحساسة مما يجعل لها قدرة إيقاف عالية بحيث يمكن استخدامها عند الطاقات العالية.

وأهم عيوب الألواح والأفلام الحساسة هي:

- أ- إيجاد طول الأثر وكثافة الحبيبات وزوايا التشتت يستغرق وقتاً طويلاً من العمل على الميكروسكوب.
- ب- نظراً لقصر مدى الجسيمات في مادة المستحلب فإنه يلزم مجال مغناطيسي كبير جداً لإحداث انحراف ملموس في المسار بغرض تحديد زخم الجسيمات.

وعموماً، تستخدم الأفلام الحساسة في الوقت الحالي استخداماً واسعاً للكشف عن الإشعاعات وتحديد الجرعات الإشعاعية التي يتعرض لها العاملون بالإشعاعات والمواد المشعة. ولهذا الغرض، تستخدم أفلام حساسة (مقاس  $30 \times 40$  مم) موضوعة داخل حافظة لا تتعرض للضوء. وبعد معالجة الفيلم يتم قياس شدة العتمامة الناتجة فيه وذلك بتمرير ضوء خلاله. ويتم تحويل شدة العتمامة إلى جرعة إشعاعية متناسبة، وذلك باستخدام منحنى يُعرف باسم منحنى المعايرة. ويتم عمل هذا المنحنى بتعریض عدد من الأفلام لجرعات إشعاعية مختلفة ومعلومة وقياس درجة العتمامة عند كل جرعة معينة، ثم ترسم العلاقة

بين الجرعة الإشعاعية ودرجة العتمامة. ويبيّن شكل (26-4) أحد هذه المنحنيات عند استخدام أفلام بحساسية معينة.



شكل (26-4)  
العلاقة بين درجة العتمامة والجرعة في استخدام الواح التصوير  
المستحلبة

وتعتمد حساسية الفيلم، عموماً، على حجم حبيبات بروميد الفضة. وعند قياس جرعات إشعاعية عالية تستخدم أفلام ذات حساسية منخفضة. أما عند قياس الجرعات الإشعاعية المنخفضة فيلزم استخدام أفلام ذات حساسية عالية. عموماً، توجد أفلام تصل حساسيتها إلى مدى من الجرعات يتراوح بين 10 ملي رم و 10 رم.

#### 15-4 أسئلة ومسائل للمراجعة

- 1 قارن بين كل من غرفة التأين والعداد التناصي وعدد غایغر من حيث القدرة التحليلية والجهود المستخدمة وشكل النبضة.
- 2 اشرح الفرق بين غرفة التأين النبضية، والأخرى التي تعمل بنظام التيار المستمر، وما هي إمكانيات استخدام كل منها؟.
- 3 اشرح دور كل من الحلقات الحارسة والشبكة في غرفة التأين، وفي أي نوع من الغرف تستخدم الشبكة؟.
- 4 اشرح كيفية حدوث الإطفاء باستخدام دارة خارجية وذاتيا في عدادات غایغر.
- 5 ما هو تعريف الزمن الميت وزمن الاسترجاع في عداد غایغر؟.
- 6 قارن بين الأنواع المختلفة لغرف التأين من حيث نوع الإشعاعات التي يمكن تسجيلها.
- 7 كيف يمكن استخدام الكواشف الغازية للكشف عن النيوترونات وإشعاعات جاما؟، وما هي كفاءتها لهذه الإشعاعات؟.
- 8 عرف القدرة التحليلية للطاقة والقدرة التحليلية الزمنية للكاشف.
- 9 اشرح الخطوات التي تحدث لإشعاعات جاما ابتداء من سقوطها على الكاشف الوميضي وحتى ظهور النبضة الكهربائية على مخرجها.

- 10- أذكر أنواع المواد الوميضية، وقارن بينها من حيث الاستخدام للكشف عن الإشعاعات المختلفة.
- 11- ما هي أهم مزايا الكواشف الوميضية بالمقارنة بالغازية؟.
- 12- عرف كفاءة الكاشف، وشرح كيف تتغير كفاءة الكاشف بتغيير الطاقة بالنسبة لأنواع الإشعاعات المختلفة.
- 13- كيف تتغير كفاءة الكاشف بتغيير حجم البلورة (للكواشف الوميضية)، وبتغيير ضغط الغاز للكاشف الغازية؟.
- 14- كيف تتغير القدرة التحليلية للطاقة بزيادة حجم البلورة للكاشف الوميسي؟، ولماذا؟.
- 15- كيف يؤثر الجهد على معامل التضاعف في أنبوب التضاعف الفوتوني؟، وكيف تتغير القدرة التحليلية للكاشف الوميسي بتغيير الجهد؟.
- 16- ما هو دور كل من قطب تركيز الحزمة الإلكترونية والدينود في أنبوب التضاعف الفوتوني؟.
- 17- ما هي أهم مزايا وعيوب الكواشف المجهزة من أشباه الموصلات؟.
- 18- لماذا تتميز الكواشف المجهزة من أشباه الموصلات بقدرة تحليلية عالية؟.
- 19- اشرح لماذا يغرس الجرمانيوم ثقب التوصيل بمادة الليثيوم لاستخدامه كاشفا لإشعاعات جاما؟.

- 20 اشرح كيفية عمل الكاشف السليكوني.
- 21 اشرح كيفية عمل كاشف الجermanium ليثيوم.
- 22 ما هي مزايا كاشف الجermanium عالي النقاء بالمقارنة بكاشف الجermanium ليثيوم؟.
- 23 كيف تعمل الغرفة السحابية كاشفاً، وما هي أهم مزاياها وعيوبها؟، وما مجال استخدامها؟.
- 24 ما الفرق بين الغرفة السحابية وغرفة الانتشار؟.
- 25 اشرح كيفية عمل الغرفة الفقاعية كاشفاً، وما هي أهم مزاياها وعيوبها؟.
- 26 اشرح كيفية عمل العداد الشراري.
- 27 ما هو مبدأ عمل كواشف تشنركوف؟، وكيف يمكن استخدامها لتحديد طاقة الجسيمات؟.
- 28 اشرح كيف تستخدم الألواح الحساسة عند الطاقات العالية؟.
- 29 ما هو مجال استخدام الأفلام الحساسة؟، وكيف يمكن استخدامها لتحديد جرعات التعرض الشخصي؟.
- 30 جسيم ألفا يفقد كل طاقته في غرفة تأين منتجًا 12000 زوج إلكتروني أيوني. اوجد الشحنة الكلية الناتجة عن تجميع أي من الإلكترونات أو الأيونات. وإذا كانت السعة الداخلية للغرفة 25 بيکوفارد والجهد العالي المطبق 250 فولت، فما هو التغير الناتج في هذا الجهد؟.

- 31 جسيمات ألفا طاقتها  $4.25 \text{ ميغا إلكترون فولت}$  تدخل غرفة تأين بمعدل  $300$  جسيم في الثانية، فما هو التيار الناتج عن هذه الجسيمات إذا كانت الجسيمات تفقد كل طاقتها داخل الغرفة والطاقة اللازمة لتكوين زوج إلكتروني أيوني هي  $35 \text{ إف}?$ .  
أوجد قيمة المقاومة الواجب توصيلها على التوالي مع الغرفة ليصبح فرق الجهد الناتج عليها  $0.1$  فولت،  $1$  فولت.
- 32 إذا كان متوسط الممر الحر للإلكترون في عداد تناسبي هو  $1$  ميكرومتر، وكان معامل التضاعف في هذا العداد هو  $4096$  ، فما هي المسافة من سلك الأنود التي تبدأ منها عملية التضاعف؟.
- 33 إذا كان نصف قطر سلك الأنود في المثال السابق  $10$  ميكرومتر ونصف قطر الأنبوب الداخلي  $10$  مم، فما هي شدة المجال عند الأنود إذا كان الجهد المستخدم هو  $1200$  فولت؟.
- 34 عند دخول جسيم بيتا بطاقة مقدارها  $1.7$  ميغا إلكترون فولت نتج عنه  $5.5 \times 10^7$  زوج إلكتروني في عداد غايغر، فما هو معامل التضاعف لهذا العداد؟، علما بأن الطاقة اللازمة لتكوين زوج واحد هي  $35 \text{ إف}.$ .
- 35 ما هو عدد الدينودات المطلوبة لأنبوب التضاعف بحيث تتحقق الأنبوب معامل تضاعف مقداره  $10^6$ ؟، إذا كان معامل الانبعاث الثانوي للدينودات متساويا ويساوي  $4$ .  
وعند انخفاض الجهد لقيمة معينة أصبح معامل الانبعاث الثانوي  $3$  ، فما هو معامل التضاعف الجديد؟.

-36- عند استخدام عداد تشنركوف لتحديد طاقة جسيمات ألفا كانت زاوية رأس المخروط  $80^\circ$  ، أوجد سرعة هذه الجسيمات.